

**UNIVERSIDADE FEDERAL DE PELOTAS**  
**CENTRO DE DESENVOLVIMENTO TECNOLÓGICO**  
**Programa de Pós-Graduação em Ciência e Engenharia de Materiais**

**Dissertação**



**Avaliação do óleo obtido do resíduo do pescado para obtenção de  
biocombustível**

**Eliane Freitas de Medeiros**

**Pelotas, 2018**

**Eliane Freitas de Medeiros**

**Avaliação do óleo obtido do resíduo do pescado para obtenção de  
biocombustível**

Dissertação apresentada ao Programa de Pós-Graduação em Ciência e Engenharia de Materiais da Universidade Federal de Pelotas, como requisito parcial à obtenção do título de Mestre em Ciência e Engenharia de Materiais.

Orientador: Prof. Dr. Robson Andreazza

Pelotas, 2018

Universidade Federal de Pelotas / Sistema de Bibliotecas  
Catalogação na Publicação

M488a Medeiros, Eliane Freitas de

Avaliação do óleo obtido do resíduo do pescado para  
obtenção de biocombustível / Eliane Freitas de Medeiros ;  
Robson Andreazza, orientador. — Pelotas, 2018.

98 f. : il.

Dissertação (Mestrado) — Programa de Pós-Graduação  
em Ciência e Engenharia de Materiais, Centro de  
Desenvolvimento Tecnológico, Universidade Federal de  
Pelotas, 2018.

1. Sustentabilidade. 2. Biodiesel. 3. Resíduo de  
pescado. 4. Transesterificação convencional. 5.  
Transesterificação por ondas ultrassônicas. I. Andreazza,  
Robson, orient. II. Título.

CDD : 620.8

Elaborada por Maria Inez Figueiredo Figas Machado CRB: 10/1612

**Eliane Freitas de Medeiros**

**Avaliação do óleo obtido do resíduo do pescado para obtenção de  
biocombustível**

**Banca Examinadora:**

Prof. Dr. Robson Andreazza (Orientador)

Doutor em Ciência do Solo pela Universidade Federal do Rio Grande do Sul

Prof. Dr. Bruno Muller Vieira

Doutor em Ciência e Engenharia de Materiais pela Universidade Federal de Pelotas

Prof. Dr. Maurizio Silveira Quadro

Doutor em Ciência do Solo pela Universidade Federal do Rio Grande do Sul

Prof. Dr. Rafael Beltrame

Doutor em Engenharia Florestal pela Universidade Federal de Santa Maria

## **AGRADECIMENTOS**

À Deus por me permitir chegar mais longe do que imaginei, e por ser a cada minuto minha maior força.

À minha família, meus pais, Lurdes e Rogério, pelo incentivo diário, pela confiança e suporte, e por verem em minha caminhada acadêmica as possibilidades que eu por vezes, não via. Vocês são extraordinários!

Ao professor Robson Andreazza, pela orientação, conhecimento e tranquilidade transmitidos nesse período.

Ao professor Bruno Muller Vieira, por dividir comigo seu conhecimento na área.

À Cátia Fernandes Leite, pelo estímulo e por compartilhar sua experiência.

À bolsista Marcela da Silva Afonso, pela dedicação e ajuda com os experimentos.

À Sandra Larissa Marques do Couto, secretária do PPGCEM, por sua competência e disponibilidade.

Ao Laboratório de Química Ambiental, à Química Forense pela estrutura e ajuda com as análises realizadas neste trabalho.

*Aprender é a única coisa de que a mente nunca se cansa, nunca tem medo e nunca se arrepende.*

Leonardo da Vinci

*É melhor adquirir sabedoria do que o ouro! E melhor escolher entendimento do que a prata!*

Provérbios 16:16

## RESUMO

O biodiesel é um biocombustível biodegradável que pode ser obtido a partir da transesterificação de óleos vegetais ou gorduras animais, como o óleo do resíduo do pescado. A disposição deste resíduo no meio ambiente, gera gases com maus odores, lixiviação de material orgânico, impermeabilização do solo e eutrofização em corpos hídricos. A utilização destes resíduos para produção de biodiesel, é uma alternativa sustentável. O objetivo deste estudo foi caracterizar o óleo extraído dos resíduos de pescado para produção de biocombustível. O óleo foi extraído do resíduo (cabeça e carcaça com vísceras) por cozimento em dois tratamentos: 60°C/120 minutos (T1) e 80°C/90minutos (T2), observando suas características físico-químicas e o maior rendimento em óleo. O perfil de ácidos graxos dos óleos obtidos em T1 e T2, foi determinado por cromatografia gasosa com detector por ionização de chama. Foram avaliados os métodos de transesterificação convencional (aquecimento e agitação) nos tempos de 30 e 60 minutos de reação, e assistido por ondas ultrassônicas nos tempos de 1, 2 e 3 minutos, sob as frequências ultrassônicas de 20kHz e 40kHz. A conversão do óleo em biocombustível ocorreu com auxílio de álcool metílico e hidróxido de sódio como catalisador, observando-se o rendimento. A composição química do óleo obtido do resíduo e do biocombustível obtido nas duas técnicas, foi investigada por espectroscopia do infravermelho. Foram determinados o índice de acidez e o índice de peróxidos dos biocombustíveis. Os resultados das extrações mostraram que o Tratamento 2 foi o de melhor rendimento em óleo e, apresentou massa específica de  $0.921 \pm 0.01\text{g/cm}^3$ . Os índices de acidez, iodo, peróxidos e saponificação do óleo estão de acordo com a literatura. A determinação da umidade do resíduo confirma sua composição magra. A umidade do óleo está acima do limite ideal para obter um bom rendimento em biodiesel na transesterificação. O perfil de ácidos graxos do óleo apresentou os ácidos graxos palmítico, palmitoleico e oleico como os de maior porcentagem em área. O método convencional foi o de melhor rendimento em biodiesel ( $97,95 \pm 0,69\%$ ) com 60 minutos de reação, apresentando massa específica de  $0.895 \pm 0.00\text{g/cm}^3$ . O método ultrassônico obteve maiores rendimentos ( $81,02 \pm 5,59\%$ ) com 2 minutos de sonicação na freqüência de 20 kHz. Os índices de acidez e peróxidos determinados nos biocombustíveis estão abaixo do limite determinado pela Agência Nacional do Petróleo, Gás Natural e Biocombustíveis (ANP). A espectroscopia do infravermelho identificou os grupos funcionais éster e carbonila, que fazem parte da composição dos óleos e confirmou a conversão do óleo residual em biodiesel. O biodiesel obtido nas duas técnicas apresentou altas concentrações de sódio, potássio e magnésio, provenientes do resíduo do pescado, da salga e do hidróxido de sódio utilizado para catalisar a reação. Entretanto, a obtenção de um biocombustível a partir de resíduos com inadequada destinação final, ampara este projeto. A geração de um produto com valor agregado nestas condições, incentiva melhorias nos aspectos econômicos, sociais e ambientais de uma região.

**Palavras-chave:** sustentabilidade; biodiesel; ondas ultrassônicas; aquecimento e agitação.

## ABSTRACT

Biodiesel is a biodegradable biofuel that can be obtained from transesterification of vegetable oils or animal fats, such as fish oil. The disposal of this residue in the environment generates gases with bad odors, leaching of organic material, waterproofing of the soil and eutrophication in water bodies. The use of these wastes to produce biodiesel is a sustainable alternative. The objective of this study was to characterize the oil extracted from fish waste for the production of biofuel. The oil was extracted from the residue (head and carcass with viscera) by cooking in two treatments: 60 ° C / 120 minutes (T1) and 80 ° C / 90 minutes (T2), observing its physicochemical characteristics and the highest oil yield . The fatty acid profile of the oils obtained in T1 and T2, was determined by gas chromatography with flame ionization detector. The methods of conventional transesterification (heating and shaking) were evaluated at the 30 and 60 minute reaction times, and assisted by ultrasonic waves at times of 1, 2 and 3 minutes, under the ultrasonic frequencies of 20kHz and 40kHz. The conversion of the oil to biofuel occurred with the aid of methyl alcohol and sodium hydroxide as catalyst, observing the yield. The chemical composition of the oil obtained from the residue and the biofuel obtained in the two techniques was investigated by infrared spectroscopy. The acid index and the peroxide index of biofuels were determined. The results of the extractions showed that Treatment 2 was the one with the best oil yield and had a specific mass of  $0.921 \pm 0.01\text{g/cm}^3$ . The acid, iodine, peroxide and saponification indices of the oil are in agreement with the literature. Determining the moisture content of the residue confirms its lean composition. The moisture of the oil is above the ideal limit to obtain a good yield in biodiesel in the transesterification. The fatty acid profile of the oil presented the palmitic, palmitoleic and oleic fatty acids as the ones with the highest percentages in area. The conventional method was the best yield in biodiesel ( $97.95 \pm 0.69\%$ ) with 60 minutes of reaction, presenting a specific mass of  $0.895 \pm 0.00\text{g/cm}^3$ . The ultrasonic method obtained higher yields ( $81.02 \pm 59\%$ ) with 2 minutes sonication at the 20 kHz frequency. The acid and peroxide indices determined in biofuels are below the limit determined by the National Petroleum Agency (ANP). Infrared spectroscopy identified the ester and carbonyl functional groups, which are part of the composition of the oils and confirmed the conversion of the residual oil to biodiesel. The biodiesel obtained in the two techniques presented high concentrations of sodium, potassium and magnesium from the fish residue, salting and sodium hydroxide used to catalyze the reaction. However, obtaining a biofuel from waste with an inadequate final destination, supports this project. The generation of a value-added product under these conditions encourages improvements in the economic, social and environmental aspects of a region.

**Keywords:** fish waste; sustainability; biodiesel; transesterification; ultrasonic waves; heating and stirring;

## Lista de Figuras

Figura 1: Fluxograma simplificado das etapas da cadeia produtiva do pescado.....	4
Figura 2: Transesterificação com álcool de cadeia curta .....	8
Figura 3: Banho ultrassônico e processador ultrassônico .....	10
Figura 4: Evolução da produção de biodiesel (B100) entre 2006 e 2015.....	13

### **Artigo 1**

Figura 1A: Porcentagem em área de ácidos graxos do óleo obtido no Tratamento 1 .....	37
Figura 1B: Porcentagem em área de ácidos graxos do óleo obtido no Tratamento 2.....	38
Figura 2: Análise do óleo extraído do resíduo do pescado no Tratamento 2 por espectroscopia do Infravermelho.....	39

### **Artigo 2**

Resumo Gráfico.....	67
Figura 1: Rendimento em biodiesel produzido pelo método de transesterificação convencional.....	68
Figura 2: Separação da fase biodiesel-glicerina por decantação obtido no método convencional.....	69
Figura 3A: Índice de peróxidos do biodiesel obtido nos tempos de 30 e 60 minutos.....	70
Figura 3B: Índice de acidez do biodiesel obtido nos tempos de 30 e 60 minutos.....	70
Figura 4: Biodiesel obtido sob ondas ultrassônicas a 20 kHz de frequência.....	71

Figura 5: Biodiesel obtido sob ondas ultrassônicas a 40 kHz de frequência.....	72
Figura 6: Separação da fase biodiesel-glicerina por decantação obtida pelo método assistido por ondas ultrassônicas por.....	73
Figura 7A: Índice de acidez do biodiesel obtido no tempo de 2 minutos.....	74
Figura 7B: Índice de peróxidos do biodiesel obtido no tempo de 2 minuto.....	74
Figura 8: Espectro de infravermelho do óleo e do biodiesel obtido pelos métodos convencional e assistido por ondas ultrassônicas.....	75

## **Lista de Tabelas**

Tabela 1 Porcentagens dos ácidos graxos comumente encontrados em óleos vegetais e gorduras animais.....7

Tabela 2 Matérias-primas utilizadas na produção de biodiesel (B100) no Brasil 2006 - 2015.....12

## **Artigo 1**

Tabela 1 Rendimento em óleo e umidade do resíduo.....39

Tabela 2 Índices, umidade e impurezas insolúveis em éter do óleo do resíduo do pescado nos Tratamentos 1 e 2.....40

Tabela 3 Perfil de ácidos graxos presente no óleo do resíduo do pescado obtido nos Tratamentos 1 e 2.....41

Tabela 4 Comparação da porcentagem do grau de saturação do óleo do Tratamento 2 com o grau de saturação de matérias-primas residuais utilizadas para obtenção de biodiesel.....42

## **Artigo 2**

Tabela 1 Rendimentos em biodiesel obtido a partir de óleos vegetais e resíduos de processamento de pescado pelos métodos de transesterificação convencional e assistido por ondas ultrassônicas.....76

Tabela 2 Determinação de íons metálicos presentes no obtido pelos métodos de transesterificação convencional e assistido por ondas ultrassônicas em mg Kg<sup>-1</sup>....77

Tabela 3 Médias e desvio padrão de elementos metálicos presentes em espécies de peixes no rio Caiapó-GO.....78

## **Lista de Abreviaturas**

IBGE	Instituto Brasileiro de Geografia e Estatística
ANP	Agência Nacional do Petróleo
PNRS	Política Nacional de Resíduos Sólidos
IBAMA	Instituto Brasileiro do Meio Ambiente e dos Recursos Naturais Renováveis
IEA	International Energy Agency
CONAMA	Conselho Nacional do Meio Ambiente
IQA	Índice de qualidade das águas

## **Sumário**

1. Introdução.....	1
2. Revisão da Literatura.....	3
2.1 Cadeia produtiva do pescado.....	3
2.1.1 Resíduos da Cadeia produtiva do pescado e impactos ambientais causados.	5
2.4.2 Alternativas para o resíduo do pescado.....	6
2.3 Composição química de óleos e gorduras.....	7
2.4 Transesterificação.....	8
2.4.1 Transesterificação convencional.....	8
2.4.2 Transesterificação sob ultrassom.....	9
2.4.3 Parâmetros da reação de transesterificação.....	10
2.5 Biodiesel.....	11
2.6 Sustentabilidade.....	12
2.7 Colônia de pescadores Z-3.....	14
3. Objetivos.....	16
3.1 Objetivos Específicos.....	16
4. Artigo 1.....	16
5. Artigo 2.....	43
6. Conclusão.....	80
Referências .....	81

## **1. INTRODUÇÃO**

A energia é um insumo básico para as atividades antropogênicas. Cerca de 80% do consumo mundial de energia é fornecido por combustíveis fósseis, que não são renováveis (IEA, 2013). Contudo, este tipo de energia oriunda de fontes fósseis ou de recursos naturais, além do custo ecológico, incrementam a geração de resíduos. O investimento em combustíveis alternativos tem se destacado nos últimos anos, motivado tanto pelos elevados preços do petróleo, pela elevada demanda de energia e por problemas ambientais, como o aquecimento global (CARVALHO, 2016). Estes problemas ambientais trouxeram responsabilidades com o modo de vida e de produção contemporâneos, impulsionando o conceito sustentável. A sustentabilidade neste contexto estabelece a relação entre fonte energética, resíduos de processos e aspectos ambientais (IASTIAQUE et al., 2015; MENEGAZZO et al., 2015).

Diante disto, o biodiesel apresenta-se como alternativa sustentável, por ser de fonte renovável, além das vantagens de não contribuir para a emissão de material particulado e o aumento dos gases de efeito estufa. Além disso, o Brasil possui condições geográficas e climáticas para o cultivo e obtenção de matéria-prima para produzir este biocombustível. A utilização do biodiesel produzido no Brasil, permite reduzir a dependência das importações de diesel, o que representa uma vantagem estratégica do ponto de vista econômico (LIMA, 2013).

A obtenção do biodiesel ocorre pela transesterificação de triglicerídeos do óleo que é extraído das mais variadas fontes, dentre elas a soja (BATISTA et al., 2014) e resíduos do pescado (BERY, et al., 2012; FADHIL; AL-TIKRITY; ALBADREE, 2015; CARVALHO, 2016), por exemplo. O resíduo do pescado é gerado desde sua captura até o consumidor final, mas principalmente nas etapas de obtenção e de beneficiamento da matéria-prima (filetagem, salga). Para evitar o descarte inadequado deste resíduo, são utilizados então para produção de farinha e silagem, obtenção de quitina, e o óleo extraído, serve para produção de solventes, tintas, matéria-prima para indústria farmacêutica e biocombustível. De acordo com Iastiaque Martins et al. (2015), a utilização da gordura do peixe para fabricação de biodiesel é mais uma alternativa para a matriz energética, além de óleos vegetais.

O Brasil tem potencial pesqueiro como poucos países do mundo, pela quantidade de águas marítimas e continentais, entre elas os reservatórios de hidrelétricas, como o de Itaipú (IASTIAQUE MARTINS et al., 2015b). A Lagoa dos Patos, na região sul do Rio Grande do Sul compreende dentre outros locais, a Colônia Z-3, comunidade de pescadores que realiza a pesca artesanal. Apesar de ser praticada em pequena escala, a pesca na Colônia Z-3 pode gerar até 30% de resíduo se comparado à matéria-prima bruta, e mais 10% do total capturado é o resíduo oriundo da pesca acompanhante (DECKER, 2016).

Este material quando descartado no solo, pode produzir gases após sua decomposição ou alterar o equilíbrio de um corpo hídrico por processo de eutrofização, e o óleo pode impermeabilizar o solo e formar uma camada sob a superfície da água dificultando trocas gasosas (MOTA et. al, 2014). Dentro do importante contexto sustentável, o óleo extraído do resíduo torna-se então matéria-prima alternativa para geração de biodiesel. O biodiesel tem um grande potencial para o abastecimento em motores do ciclo diesel, pois é obtido de fontes renováveis, não são tóxicos e são biodegradáveis (DELATORRE et al., 2011). Além disso, o processo de transesterificação do óleo é econômico e relativamente rápido. A importância na utilização do resíduo está na minimização do impacto causado pelo rejeito do mesmo, bem como a não competição com a utilização de óleos virgens para obter o biocombustível e a geração de emprego na região em que é gerado.

Assim, o objetivo deste projeto foi avaliar o óleo extraído do resíduo do pescado, gerado no processamento do pescado da Colônia de pescadores Z-3, para produção de biocombustível conferindo ao resíduo de pescado característica sustentável.

## **2. REVISÃO DA LITERATURA**

### **2.1 Cadeia produtiva do Pescado**

A pesca é uma das atividades extractivas mais antigas praticadas pelo homem para sua sobrevivência, e ao longo do tempo esta atividade intensificou-se por diversos fatores, tornando-a de extrema importância econômica e social no mundo. O Brasil possui extensão litorânea e riqueza em águas continentais que propiciam a atividade pesqueira. Conforme Bueno et al.(2008), são mais de cinco milhões de hectares de água doce em reservatórios naturais e artificiais que poderão ser aproveitados na produção de organismos aquáticos.

A cadeia produtiva do pescado envolve etapas de obtenção, beneficiamento, distribuição e o consumidor final. A atividade pesqueira pode ser classificada em:

- extractiva artesanal: caracterizada pelo uso de mão-de-obra familiar, embarcações de pequeno porte ou ainda sem embarcação, cuja área de atuação está nas proximidades da costa, nos rios e lagos (MENDONÇA; VALLE; COUTINHO, 2010);
- pesca industrial (a captura de pescado, utilizando navios de grandes dimensões, geralmente bem equipados, dispondo de redes potentes) (MENDONÇA; VALLE; COUTINHO, 2010);
- pesca amadora, de acordo com a Portaria 30/2003 do IBAMA, é aquela praticada por brasileiros ou estrangeiros com a finalidade de lazer, turismo ou desporto, sem finalidade comercial (IBAMA, 2003).

A etapa de obtenção é seguida do beneficiamento onde os peixes são selecionados por tamanho, sendo então lavados e submetidos a congelamento, caso não sejam processados imediatamente; podem ser comercializados inteiros, eviscerados com cabeça ou fracionados em filés ou lâminas (FELTES et al., 2010). Esta etapa pode envolver também o segmento de transformação, ou seja, aquele que processa o pescado e introduz alterações em sua forma de apresentação e em sua estrutura química, de maneira a atender aos anseios do consumidor e propiciar melhores condições de conservação do produto (MENDONÇA; VALLE; COUTINHO,

2010), e por fim a distribuição até chegar ao consumidor que o obtém fresco ou processado. A figura 1 ilustra a cadeia produtiva do pescado.

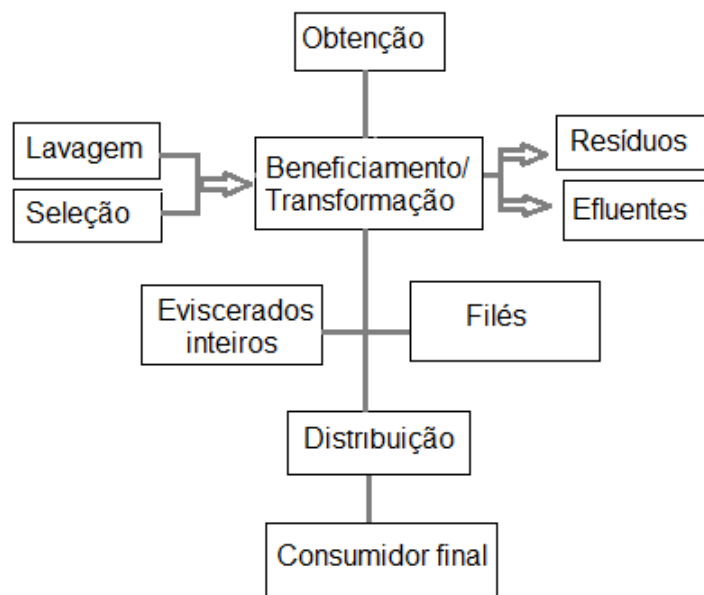


Figura 1: Fluxograma simplificado das etapas da cadeia produtiva do pescado

### 2.1.1 Resíduos da Cadeia produtiva do pescado e impactos ambientais causados

Como em todo processo produtivo, a cadeia do pescado também possui etapas que geram impactos ambientais. Em breve análise, as etapas onde há significativa geração de resíduos são as de processamento e transformação do pescado, que incluem procedimentos de lavagem, evisceração e filetagem, que além do efluente geram também resíduos sólidos. O rendimento médio em filete representa 35% aproximadamente, e os 65% de resíduos incluem: cabeça, carcaça, vísceras, pele e escamas (IASTIAQUE MARTINS et al., 2015).

De acordo com o IBGE, (2016) a produção total de peixes da piscicultura brasileira foi de 507,12 mil toneladas em 2016. Esta produção equivale a cerca de 330 mil toneladas de resíduos de pescado. O descarte deste resíduo é geralmente em terra, oceano, rios e lagos, sendo o manuseio dos mesmos um sério problema

em nível mundial, principalmente, nos países em desenvolvimento (BALBINOT, 2015).

Com o descarte incorreto, este material rico em compostos orgânicos, minerais, óleos e gorduras decompõem-se de modo a prejudicar vários compartimentos ambientais: poluição do ar (por exalar maus odores, fumaça, gases tóxicos ou material particulado), poluição das águas superficiais, devido ao carreamento de resíduos pela ação da água das chuvas, além de poluição do solo e águas subterrâneas (pela infiltração de líquidos) (OETTERER; SUCASAS; BORGHESI, 2012).

As vísceras de peixe quando jogadas nos rios e lagos, formam uma camada densa na superfície que impede trocas gasosas e a oxigenação, causando a mortandade de espécies, além de promover a impermeabilização dos solos quando são enterrados (MOTA, et al., 2014). Além disso, os resíduos geram custos para as empresas, pois o armazenamento em câmaras refrigeradas, o transporte e o descarte são os fatores mais onerosos, fazendo com que uma das medidas adotadas pelos empresários seja a destinação dos resíduos de pescado para aterros (MARTINS, 2011). De acordo com a Política Nacional de Resíduos Sólidos, os resíduos sólidos gerados nos processos produtivos são de responsabilidade de seus geradores, os quais precisam realizar o gerenciamento adequado dos mesmos. O gerenciamento de resíduos comporta tanto a destinação final como a disposição final ambientalmente adequada (DECKER, 2016). Porém, é importante observar a diferenciação da destinação final e da disposição final dos resíduos, conforme a Política Nacional dos Resíduos Sólidos.

## **2.2 Alternativas para o resíduo do pescado**

Para reduzir os impactos gerados em qualquer cadeia produtiva, é necessária a criação de sistemas de aproveitamento de resíduos que visem à conservação de energia, e maior aproveitamento da matéria-prima até o produto final e, também, o desenvolvimento de novos produtos que utilizem resíduos líquidos e sólidos no seu preparo (CARVALHO, 2016).

O material descartado no processamento do pescado é rico em óleo, nutrientes e minerais, cujas quantidades estão relacionadas ao rendimento de

carcaça dos peixes que varia em função do processamento, da espécie, peso do pescado, formato do corpo, etc. (BERY et al., 2012). Além disso, o habitat do pescado, a sua alimentação, pode interferir nas proporções destes constituintes. Os resíduos, servem para compostagem e obtenção de fertilizantes (SANES et al., 2015); o material compostado é fermentado com a finalidade de estabilizar o material para atividades agrícolas. Além de fertilizantes, pode ser obtida a silagem (CREXI; SOUZA-SOARES; PINTO, 2009), cujo produto, é de consistência semi-pastosa, quase líquida, produzido a partir do peixe inteiro ou de partes dele, conservado pela ação de ácidos (silagem química) ou por fermentação microbiana induzida por carboidratos (silagem biológica) (FELTES et al., 2010). É possível também a obtenção de farinha (SANTOS et al., 2017) por diversas metodologias, isoladas ou combinadas. Ao término do processo, a farinha é produzida a partir do resíduo sólido obtido do processo de extração do óleo.

Porém, o óleo de peixe dentre os demais subprodutos, tem despertado maior interesse, pois possui amplas finalidades, já que é matéria-prima utilizada em produtos alimentícios, rações para animais, e também em bens como detergentes, tintas, cosméticos e indústria farmacêutica. Sendo uma fonte rica em ácidos graxos livres e de baixo custo, este pode ser matéria-prima também para a produção de biodiesel (SANTOS et al., 2010a).

### **2.3 Composição química de óleos e gorduras**

Óleos e gorduras são insumos utilizados pelo homem com finalidades distintas. Desde a civilização egípcia até o século XIX os óleos e gorduras eram uma das principais fontes de combustíveis líquidos para uso em sistemas de iluminação, como as lamparinas, ou de lubrificantes para engrenagens mecânicas (RAMALHO; SUAREZ, 2013). No aspecto visual, os óleos e gorduras são substâncias líquidas e sólidas, respectivamente, o que é explicado pelo grau de instauração dos ácidos graxos: óleos são triglicerídeos líquidos à temperatura ambiente, com conteúdo elevado de ácidos graxos insaturados; gorduras, são sólidos com predominância de ácidos graxos saturados (PAIVA et al., 2013). A cadeia carbônica saturada ou insaturada difere apenas no tipo de ácido graxo majoritário encontrado. A tabela abaixo apresenta as porcentagens dos ácidos graxos comumente encontrados em óleos vegetais e animais.

Tabela 1: porcentagens dos ácidos graxos comumente encontrados em óleos vegetais e animais.

	<b>Ácido Graxo</b>	<b>%</b>	<b>Referência</b>
<b>Óleo de mamona</b>	C <sub>18</sub> H <sub>34</sub> O <sub>3</sub>	84.0 – 91.0	(ASSIS, 2014)
<b>Óleo de tilápia do Nilo</b>	C <sub>18</sub> H <sub>34</sub> O <sub>2</sub>	31.5	(MENEGAZZO et al., 2015)
<b>Óleo de soja</b>	C <sub>18</sub> H <sub>32</sub> O <sub>2</sub>	54.1	(SERQUEIRA et al., 2014)

As estruturas dos ácidos graxos influenciam nas propriedades dos óleos e gorduras, como ponto de fusão, por exemplo. A melhor interação entre cadeias carbônicas resultam em maior força de atração, pontos de fusão mais altos, afetando a viscosidade impedindo seu uso direto como combustível (RAMALHO; SUAREZ, 2013).

Estas propriedades causam obstrução de filtros e outros problemas que aumentam os custos de manutenção. Entretanto, esta desvantagem pode ser resolvida, através de processos químicos que melhoram suas características para tal finalidade como a transesterificação, que melhora a ignição e as propriedades de fluxo.

## 2.4 Transesterificação

A transesterificação é um processo de transformação de ácidos graxos, que tornou-se uma boa opção por ser um método simples e de fácil obtenção na indústria de biocombustíveis. O objetivo do processo é transformar a estrutura molecular original de lipídeos, tornando suas propriedades físico-químicas praticamente iguais às do diesel. Segundo Dib (2010), a reação de transesterificação, visa reduzir a viscosidade do óleo, pois as cadeias de ácidos graxos são separadas do glicerol quando misturados com um álcool. O glicerol é um líquido incolor de alta viscosidade e alto ponto de ebulição, com inúmeras aplicações (FILHO, 2010), e é separado do biodiesel por decantação. A figura 2 mostra a reação de transesterificação obtendo biodiesel e como subproduto, o glicerol.

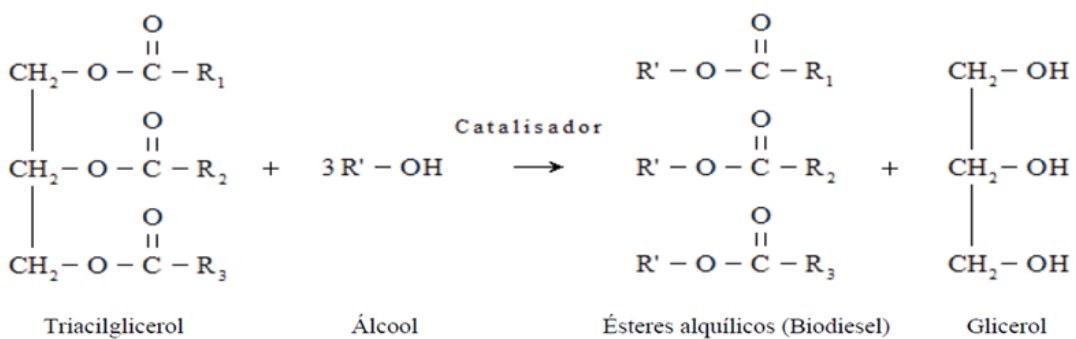


Figura 2: Transesterificação com álcool de cadeia curta (DIB, 2010)

#### **2.4.1 Transesterificação convencional**

A transesterificação consiste na reação química, entre óleos ou gorduras com um álcool de cadeia curta em excesso, para aumentar a conversão em ésteres monoalquilaicos. A reação pode ser catalisada por enzimas, catalisadores ácidos ou básicos (FILHO, 2010). A presença dos catalisadores melhora a solubilidade do álcool na matéria-prima e sua aplicação depende da matéria-prima a ser utilizada (DIB, 2010). Uma vez que as reações costumam ser lentas, o incremento de temperatura e agitação mecânica auxilia na velocidade da reação melhorando a interação entre os componentes do sistema, que é inicialmente bifásico.

Outras variáveis que interferem na reação são: o tempo, considerando a reversibilidade da reação, a umidade e o índice de acidez da matéria-prima, influenciando no rendimento de biodiesel. A umidade provoca hidrólise dos ésteres monoalquílicos na reação e os ácidos carboxílicos, produtos da hidrólise, reagem com catalisador alcalino formando sabão (IASTIAQUE MARTINS et al., 2015). Então, para a etapa de transesterificação, é necessária a retirada destes constituintes do óleo através de um processo de refino de óleo.

Realizando a etapa de refino, é possível transesterificar óleos e gorduras obtidos a partir de diferentes fontes como: óleo de babaçu (PAIVA et al., 2013), óleo de *Moringa Oleífera Lam* (OLIVEIRA et al., 2012) óleo de soja degomado e óleo residual reciclado (DIB, 2010) entre outras matérias-primas como o óleo do resíduo do pescado, obtidos da tilápia do Nilo e do pintado híbrido (MENEGAZZO et al., 2015).

## **2.4.2 Transesterificação assistida por ultrassom**

O ultrassom é uma onda mecânica de frequência superior a 20 kHz que não é audível pelo ouvido humano. Os efeitos químicos e físicos do ultrassom resultam do colapso da cavitação que gera energia pela colisão de partículas (BHANGU; GUPTA; ASHOKKUMAR, 2017). A cavitação é um fenômeno físico criado pela onda ultrassônica capaz de gerar altas pressões e temperaturas locais (SÁEZ-BASTANTE et al., 2015). Na transesterificação as bolhas cavitacionais induzidas por ultrassom, colapsam no limite óleo-álcool para criar pequenas gotas de cada líquido na fase oposta, levando a uma transferência de massa entre as fases e acelerando a reação (PAIVA et al., 2013).

Por isto, no processo ultrassônico, estas reações ocorrem de forma mais rápida que na transesterificação convencional, pois a agitação e o aquecimento, não produzem as mesmas condições que o fenômeno da cavitação. Na cavitação, altas temperatura e pressão, turbulência e forças de cisalhamento elevadas, podem gerar emulsões finas entre fluidos imiscíveis, aumentar a transferência de massa e, portanto, a taxa de reação de transesterificação (BHANGU; GUPTA; ASHOKKUMAR, 2017). Além disso, há uma redução do tempo de processo e quantidade de catalisador, podendo-se proceder em temperatura ambiente. Entretanto, a literatura descreve métodos onde a temperatura foi utilizada: a transesterificação de óleos descrita por Sáez-Bastante et al., (2014) foi conduzida por combinação de ciclos de sonicação e agitação à temperatura ambiente e a 50 °C, realizada com uma sonda ultrassônica com frequência de 20 kHz. Para aplicação do método, a amostra pode ser imersa em banho ultrassônico para transesterificação do óleo de amêndoas de macaúba (MACHADO; GIORDANI, 2014) ou óleo de babaçu (PAIVA et al., 2013) ou diretamente com o auxílio de processadores ultrassônicos como cálice ultrassônico e a ponteira ultrassônica (ROCKEMBACH et al., 2014) para sintetizar o biodiesel derivado do óleo de semente de uva. A Figura 3 mostra os dois equipamentos que utilizam ondas ultrassônicas para transesterificação do óleo.



Figura 3: a) banho ultrassônico (SANTOS, 2009); b) processador ultrassônico  
<http://www.biovera.com.br>

#### **2.4.3 Parâmetros da reação de transesterificação**

A estequiometria do processo de transesterificação requer 1 mol de ácido graxo para 3 moles de álcool, entretanto algum excesso de álcool é necessário para aumentar o rendimento da produção dos ésteres alquílicos (DELATORRE et al., 2011). A metodologia descreve a utilização da razão molar 5:1 de óleo: álcool com o rendimento de 72% (IASTIAQUE MARTINS et al., 2015) e 75% em biodiesel (CARVALHO, 2016). Os álcoois mais utilizados são os de cadeia curta como metanol e o etanol. O metanol possui menor custo, é isento de água e de mais fácil separação de ésteres e glicerina.

Os catalisadores auxiliam no rendimento e velocidade da reação, podendo ser ácidos, básicos ou enzimáticos, possuindo vantagens e desvantagens, o que torna necessária a avaliação da composição química da matéria-prima para sua utilização. A catálise ácida apresenta bons rendimentos porém, necessita maior temperatura, pois a reação é lenta quando comparada a catálise básica. O uso de catalisadores básicos, leva a excelentes rendimentos, na maioria das vezes superior a 90% (DELATORRE et al., 2011), contudo para evitar a saponificação, a matéria-prima deve estar isenta de água e de ácidos graxos livres. A catálise enzimática é um método que requer o uso de certos tipos de enzimas que possuem um alto custo (DIB, 2010) e longo tempo de reação, porém são menos sensíveis a presença de água e não geram resíduos no processo.

No método de transesterificação realizada com ultrassom, a frequência é inversamente proporcional ao período de rarefação, a formação de bolhas é menor necessitando utilizar maior intensidade. Quanto maior a intensidade, maior o tamanho das bolhas de cavitação o que conduz a um aumento da energia liberada durante o colapso (SANTOS et al., 2010).

#### **4.5 Biodiesel**

É um tipo de biocombustível obtido por transesterificação, utilizado para substituição parcial do diesel. A concepção inicial do biodiesel foi facultar o uso de misturas na proporção de até 5 % de biodiesel no diesel, limitando o uso de biodiesel puro a situações especiais como a geração de energia elétrica (RAMOS et al., 2017). O uso de biodiesel em mistura ao diesel de petróleo foi regulamentado pela Agência Nacional de Petróleo, Gás Natural. Segundo o Anuário Estatístico, 2016 da ANP, a proporção de biodiesel adicionada ao óleo diesel passou a ser de 6% a partir de julho e de 7% a partir de novembro de 2014, conforme a Lei nº 13.033/2014.

Esta proporção de biodiesel adicionada ao óleo diesel, compõe uma mistura binária denominada BX, onde o X é o percentual de biodiesel na mistura. Como exemplo, temos o B5, uma mistura binária cuja porcentagem de biodiesel é igual a 5% e vem sendo utilizada no setor público de transporte nacional (PAIVA et al., 2013). Nessa porcentagem é considerado um aditivo, melhorando inclusive o poder de lubrificação que o óleo diesel deve apresentar e que lhe é conferido pelo enxofre (SANTOS et al., 2010).

#### **4.6 Sustentabilidade**

Sob a perspectiva ambiental, uma das vantagens do biodiesel, é sua obtenção a partir de material residual de diversas biomassas, como sementes, mas as alternativas para produção de óleo são diversas e dependem da espécie cultivada em cada região (OLIVEIRA et al, 2012). Esta alternativa, minimiza os resíduos gerados, obtendo deles, produto de valor agregado e tornando-o biocombustível.

Tabela 2: matérias-primas utilizadas na produção de biodiesel (B100) no Brasil 2006 - 2015:

MATÉRIAS-PRIMAS	MATÉRIAS-PRIMAS UTILIZADAS NA PRODUÇÃO DE BIODIESEL (B100) (M <sup>3</sup> )									
	2006	2007	2008	2009	2010	2011	2012	2013	2014	2015
<b>TOTAL</b>	<b>69.012</b>	<b>408.005</b>	<b>1.177.638</b>	<b>1.614.834</b>	<b>2.387.639</b>	<b>2.672.771</b>	<b>2.719.897</b>	<b>2.921.006</b>	<b>3.415.467</b>	<b>3.938.873</b>
Óleo de soja	65.764	353.233	967.326	1.250.590	1.980.346	2.171.113	2.105.334	2.231.464	2.625.558	3.061.027
Óleo de algodão	-	1.904	24.109	70.616	57.054	98.230	116.736	64.359	76.792	78.840
Gordura animal <sup>1</sup>	816	34.445	154.548	255.766	302.459	358.686	458.022	578.427	675.861	738.920
Outros materiais graxos <sup>2</sup>	2.431	18.423	31.655	37.863	47.781	44.742	39.805	46.756	37.255	60.086

FONTE: ANP/SPD, conforme Resolução ANP nº 17/2004. 1 Inclui gordura bovina, gordura de frango e gordura de porco. 2 Inclui óleo de palma, amendoim, nabo-forrageiro, girassol, mamona, sésamo, óleo de fritura usado e outros materiais contendo ácidos graxos.

Outra vantagem ambiental importante é o de ser menos poluente, pois quando queimado no motor a diesel, libera 50% menos material particulado e 98% menos enxofre que o diesel de petróleo (IASTIAQUE MARTINS et al., 2015); a queima de combustíveis derivados do petróleo resulta no acúmulo de dióxido de carbono na atmosfera, intensificando o efeito estufa (ROSSET; PORTO, 2015).

A produção e utilização deste biocombustível, traz bons resultados econômicos, reduzindo as importações de óleo diesel e incentivando o desenvolvimento regional. Além disso, promove a construção de novas unidades de produção e da geração de novos empregos para o funcionamento destas unidades, portanto o aumento do consumo de biodiesel representa uma nova alternativa para o uso de gorduras e óleos (SANTOS et al., 2010). Estes aspectos conferem ao biodiesel, importância energética, econômica e ambiental por sua viabilidade, a partir de fontes residuais e formas de obtenção. O gráfico abaixo, demonstra a evolução da produção de biodiesel (B100) entre 2006 e 2015.

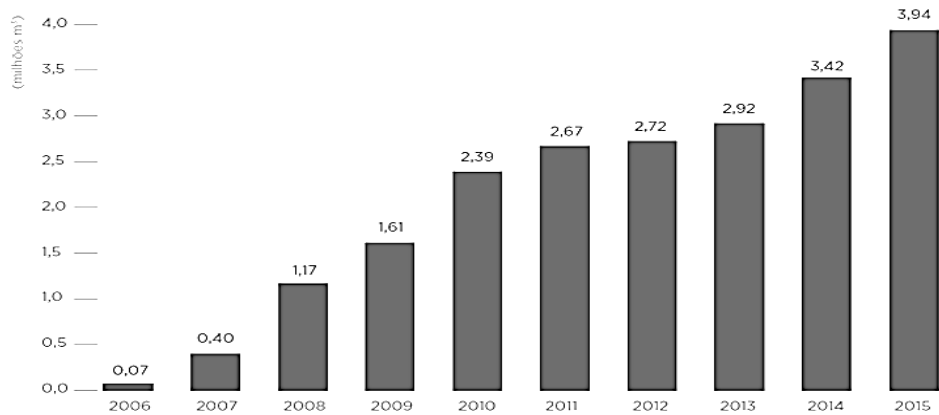


Figura 4: Evolução da produção de biodiesel (B100) entre 2006 e 2015 Fonte: ANP/SPD.

Nesta visão do desenvolvimento sustentável, é evidente que, o lado social do problema passou a ser inseparável do seu lado ambiental (DECKER et al., 2016), por este motivo, o aspecto social em algumas regiões, é o de maior importância no Programa de Biodiesel. A possibilidade de obter biodiesel a partir de óleos vegetais como o de soja, girassol, algodão, mamona e outros, promove melhorias em áreas rurais. É necessário testar, demonstrar e fomentar os sistemas de produção agrícola com base em assentamentos familiares, pois é a partir desta estratégia produtiva que deverá alicerçar-se o Programa (SANTOS, 2009).

#### **4.7 Colônia de Pescadores Z-3**

A Colônia Z-3 é uma comunidade de pescadores localizada no 2º distrito de Pelotas às margens da Lagoa dos Patos e os moradores vivem da pesca ou de atividades ligadas à ela.

Por sua localização, a Colônia de pescadores Z-3 tem importância ambiental. Cercada por matas nativas e exóticas, banhados e lagoas, no ambiente de inserção produtiva da Z-3 encontram-se diversas espécies da fauna e da flora brasileira (FIGUEIRA, 2009) e, apesar das alterações desencadeadas pela dinâmica de uso da terra, ainda existem exemplares da cobertura original, como o *Juncus effusus*, *Eichhornia crassipes* e *Ficus guaranitica* (DELAMARE; SIMON; SATO, 2015).

A pesca nesta região é realizada de forma artesanal, com baixo investimento e limitada pelos períodos de defeso, onde a pesca de algumas espécies é proibida ou controlada. Após a captura, o pescado é classificado, processado e

comercializado no local ou no Mercado Central de Pelotas. As etapas de classificação e processamento, que incluem filetagem, evisceração e salga, geram resíduos que necessitam de descarte adequado, sem incluir o volume de efluente gerado. Segundo DECKER (2016), a filetagem é o processo que mais gera resíduos (50% a 70%) se comparado ao peso da matéria prima.

A Lagoa dos Patos recebe os resíduos urbanos através do canal São Gonçalo, além dos resíduos da pesca dispostos inadequadamente que podem alterar a qualidade da água, causando impactos ambientais negativos. (ALMEIDA, 2013).

Um estudo realizado por DECKER (2016), demonstra valores de Fósforo Total, Nitrogênio Total, Sólidos Totais e Turbidez acima dos valores permitidos pela Resolução 357/2005 do CONAMA para o seu uso mais restritivo, confirmando os resultados obtidos por ALMEIDA, (2013), com a realização do cálculo IQA, mostrou que pontos da Colônia Z-3 possuem um índice regular (32,35) para a qualidade da água, isto pode ter acontecido devido aos resíduos de pescado que são dispostos na lagoa.

Uma destinação final ampla e eficiente para os resíduos do pescado, como a produção de ração, quitosana, extração do óleo seriam adequadas a fim de evitar problemas sanitários, contaminação hídrica e impactos ambientais, além de geração de renda para região (ALMEIDA, 2013).

### **3. Objetivo**

Avaliar a produção de biodiesel, a partir do óleo extraído do resíduo do pescado, gerado no processamento do pescado da Colônia de pescadores Z-3, transformando o resíduo de pescado em um produto sustentável.

#### 3.1 Objetivos Específicos

- Otimizar o processo de extração do óleo do resíduo;
- Identificar o resíduo (cabeça e carcaça com vísceras) de melhor rendimento em óleo para obtenção de biocombustível;
- Avaliar o rendimento de óleo de peixe extraído do resíduo;
- Caracterizar o óleo extraído em: umidade, índices de acidez, índice de peróxidos, índice de saponificação, massa específica e impurezas insolúveis em éter de petróleo;
- Avaliar o perfil de ácidos graxos do óleo por cromatografia gasosa por ionização de chama;
- Caracterizar a composição do óleo e do biocombustível produzido por espectroscopia do infravermelho;
- Determinar a concentração de íons metálicos no biocombustível produzido: sódio, potássio, cálcio e magnésio;
- Identificar qual o melhor método (convencional e assistido por ondas ultrassônicas) para produzir biocombustível a partir do óleo do resíduo do pescado.

#### **4. Artigo 1**

O artigo Caracterização físico-química do óleo extraído do resíduo para produção de biocombustível, está de acordo com as normas da Revista ***Renewable Energy***, Engenharias II e fator de impacto 4.357.

# **Physico-chemical characterization of the oil produced from fish residue for biodiesel production**

3 Eliane Freitas de Medeiros <sup>1\*</sup>, Marcela da Silva Afonso <sup>1</sup>; Marco Aurélio Ziemann dos Santos <sup>2</sup>;  
4 Fátima Menezes Bento <sup>3</sup>; Maurício Silveira Quadro<sup>1</sup>, Robson Andreazza<sup>1\*</sup>

<sup>1</sup> Laboratory of Environmental Chemistry, Center of Engineering - Federal University of Pelotas, 96010-020, Pelotas, RS, Brazil.

<sup>7</sup> <sup>2</sup> Center for Chemical, Pharmaceutical and Food Sciences, Organic Chemistry - Federal University of  
<sup>8</sup> Pelotas, 96010-900, Pelotas, RS, Brazil.

<sup>3</sup> Institute of Biosciences, Department of Microbiology - Federal University of Rio Grande do Sul, 90050-170, Porto Alegre, RS, Brazil.

12 **Abstract**

The residues at the fishing industry processes have potential problems for the industry because they are treated as a waste, and it costs to dispose as a waste. So, the aim of this study was to optimize and characterize the oil extracted from different fish residues. Some parameters of the extraction of the oil were tested with two treatments: T1 (60°C/120 min of cooking) and T2 (80°C/90 min of cooking). The oil was evaluated for biofuel production and presented acidity index, humidity, peroxide index, saponification index, iodine content. The best oil yield was obtained from the T2 treatment (4.88%) compared to the carcass and viscera residue (2.36%) for the T1 treatment. The oil obtained from head residue was 1.61% for T1 Treatment and 3.06% for T2 treatment. The chromatographic analysis of the oil showed a long chain fatty acid profile and a percentage of polyunsaturated area of 23.15%, predominantly oleic, palmitic and palmitoleic for the T2 treatment. The functional groups were investigated by infrared spectroscopy and verified the presence of the ester and carbonyl functional groups, which they are part of the composition of oils.

27      Keywords: fish waste; physicochemical characterization of the oil; biofuel;  
28      sustainability.

29

30      **1. Introduction**

31      Fishing is a productive activity with a great socio-economic importance in the world.  
32      In the last two decades, world fisheries production has stabilized and it is expected to  
33      remain around 90 million of ton [1]. Brazil presents an advantageous geographic  
34      position for the development of this activity, and Brazil has a coastal extension of  
35      8,500 km and about 10 million ha of freshwater (rivers and lakes), the total fish  
36      production was 483,000 tons at 2015 [2]. Small fishermen living in the fishing colonies  
37      are socially vulnerable and the fish filleting process has no treatment for waste, a  
38      substantial problem for the environment and sustainability for fishing activity [3].

39      Like the other production processes, the fish chain generates a large volume of the  
40      waste specifically in the processing for filleting. Residues generated in the fish  
41      filleting process (head, viscera, vertebral column, fin, scales and meat scraps) often  
42      represent 65% of the live fish weight, with only 35% being used [4]. These residues  
43      are composed of organic constituents and in the absence of appropriate final  
44      disposal, they can cause multiple environmental problems in the soil, air and water  
45      due to their physical and chemical characteristics. It is their inadequate biological  
46      stability, potentially pathogenic nature, high water content and fast enzymatic activity  
47      and oxidation [5], producing smell and high nutrient mineralization in the  
48      environment. However, marine foods are a source of micronutrients, in addition to  
49      essential fatty acids and proteins [6].

50 Researches were started looking for some alternatives for their use such as flour,  
51 fertilizer and oil [7-10]. These products are within the concept of sustainability,  
52 relating waste use to reducing environmental impacts, social development and the  
53 economy of the region, the state and or the Country.

54 To obtain the flour of the residue is extracted the oil [4], a co-product whose  
55 nutritional aspect represents a lipid source with a high content of polyunsaturated  
56 fatty acids [11].The oil can be extracted by cooking [12], acid silage [11] or pressing  
57 [13]. The use of temperature for obtaining the oil deactivates enzymes avoiding the  
58 thermal degradation and also promotes the coagulation of the fish protein [13].

59 The oil extracted from the fish waste has been searched as a potential source for  
60 obtaining biofuel with good results [13-15]. So, the oil is transesterified with the  
61 addition of a short chain alcohols and catalysts. However, for an efficient conversion  
62 of the oil from the residue to biofuel, the oil must be free of moisture (less than 0.5%)  
63 and it has an acid value (free fatty acid content) with less than 3mg KOH g-1 of oil.  
64 For the water and the free fatty acids, both can react rapidly with the catalyst,  
65 consuming it and giving way to soaps [16] and reducing the yield in biodiesel. Oils  
66 obtained from the processing of proteins, such as fish, have high acidity index [13]  
67 [17], result of enzymatic activity in the viscera and auto-oxidation. Physical-chemical  
68 analysis is an important tool to evaluate the characteristics of any type of organic  
69 matter destined for industrial purposes or for the production of biofuel [17]. Therefore,  
70 it is essential to know the oil, evaluating its degree of deterioration, the molarity  
71 associated with the saponification index and its degree of saturation. The chemical  
72 structure present in the raw material will reflect on the physicochemical properties of

73 biofuel [18]. Thus, the objective of this study was to evaluate the physico-chemical  
74 characteristics of the oil obtained from the fish residue to obtain biofuel.

75

76 **2. Materials and Methods**

77 The residues were obtained from fish processing units at Z-3 Fishermen's Colony,  
78 Pelotas, Rio Grande do Sul, Brazil. The residues were sampled fresh in the  
79 processing units and transported to the Environmental Chemistry Laboratory of the  
80 Federal University of Pelotas, where the extraction and characterization of the oil  
81 were carried out. The residue was fractionated and kept under refrigeration until  
82 characterization.

83 The analyzes were carried out with analytical grade reagents: sodium hydroxide in  
84 microspheres, hydrochloric acid (37%), ethyl ether, petroleum ether, ethanol, glacial  
85 acetic acid, chloroform and phenolphthalein indicator.

86

87 *2.1. Optimization of the oil extraction from the fish residue*

88 For the extraction of the oil, the fish residue was thawed at room temperature and  
89 cooked separately (head and carcass with viscera) to verify the oil yield of each type  
90 of residue. The cooking time and temperature used in this study are an average of  
91 the time and temperature commonly used by other authors [19; 20]. Two different  
92 treatments of cooking time and temperature were applied: Treatment 1 (T1) with 120  
93 min cooking and 60°C temperature; and Treatment 2 (T2) with 90 min cooking  
94 temperature at 80°C. The mixture obtained from the treatments was filtered and  
95 taken to the separator funnel to separate the aqueous solution from the oily phases,

96 and then the obtained oil was centrifuged at 3000 rpm for 3 min to remove settled  
97 solids. The oil yield was expressed as a percentage, according to Equation 1.

98  $\% R \text{ (w / w)} = (m_o / m_r) \times 100$  (Eq. 1)

99 where:

100 R= oil yield in percentage

101  $m_o$  = mass of crude oil in grams

102  $m_r$  = mass of residue in grams

103

104 *2.2 Physico-chemical characterization of the oil*

105 The total oil (head and carcass with viscera) of the residues of each treatment (T1  
106 and T2) obtained in the yield analysis was characterized according to the Physical  
107 and Chemical Methods of the Adolfo Lutz Institute [21]. The acid number,  
108 saponification index and peroxide index were determined by titrating the sample with  
109 0.1 M sodium hydroxide, 0.5 M hydrochloric acid and 0.1 N sodium thiosulfate,  
110 respectively. The iodine value was determined by calculation based on the  
111 chromatographic analysis according to Equation 2. The moisture of the residue was  
112 determined after 24 h and the moisture of the oil was determined after 3 h, both in an  
113 oven. The residue resulting from the determination of the moisture of the oil received  
114 50 mL of petroleum ether to dissolve the sample. The solution was then filtered and  
115 received another 5 washes with 10 mL of the hot solvent. After filtration was  
116 complete, the residue was oven dried at 101°C and petroleum ether insoluble  
117 impurities were determined. The analyzes were performed in triplicate.

118 Iodine value ( $\text{g I}_2 \text{ 100 g}^{-1}$ ) = (% oleic acid x 0.990) + (% oleic acid x 0.8986) + (%  
119 linoleic acid x 1.810) + (% linolenic acid x 2.735) + (gadolinic acid x 0.8175) + (%  
120 erucic acid x 0, 7497) ( Eq.: 2)

121 The oil obtained from the treatment of the best oil yield was used to determine the  
122 specific mass of the oil by pycnometry and to determine the composition of the oil by  
123 infrared spectroscopy.

124

### 125 *2.3 Statistical Analysis*

126 The statistical analysis was performed to compare the mean of the oil yield  
127 obtained from the head (T1 and T2) and carcass with viscera (T1 and T2) of the fish  
128 waste, in order to verify the best residue for oil production. The average yield of oil  
129 obtained at the Treatment T1 and T2 of all residues were also compared to  
130 determine the best treatment for oil production.

131 Statistical analysis was also performed for acidity, peroxide, saponification,  
132 residual moisture, oil moisture and impurities insoluble in petroleum ether. The  
133 results of the triplicates were submitted to analysis of variance (ANOVA) and  
134 compared by the Tukey test, with significance level of 5%, using the software  
135 Assistat 7.7.

136

### 137 *2.4 Gas Chromatography*

138 The total oil obtained in treatments T1 and T2 was evaluated by gas chromatography  
139 to determine the fatty acid profile in the two treatments. The evaluation of the fatty

140 acid profile in these conditions has the objective to verify the influence of the cooking  
141 temperature of the residue on the chemical composition of the fish oil.

142 For the chromatographic analysis, a mass of 150 mg of oil from each treatment was  
143 esterified and converted into the respective methyl methyl esters (FAME) according  
144 to the method "B" of Moss, Lambert and Merwin [22]. In a 50 mL volumetric flask, 6  
145 mL of 2% KOH solution in methanol (m / v) was added under stirring and heating at  
146 80 ° C for 8 min at reflux. After this period, 7 mL of boron trifluoride-methanol was  
147 added with stirring for 2 min and 5 mL of 20% (w / v) sodium chloride solution. The  
148 organic phase containing the esterified fatty acids was separated using 20 mL of  
149 hexane and then evaporated on a rotary evaporator and dried to constant weight.

150 After that, fatty acid methyl esters were analyzed from the normalized area and their  
151 respective retention times (TR) were compared to the FAME 37-MIX standard  
152 (Supelco, USA) using a Flame Ionization Gas Chromatograph - GC / FID 2010  
153 (Shimadzu), and column SP 2560. For analyzing the lipid profile, the operating  
154 conditions were: hydrogen as carrier gas in the flow of 1.2 mL min<sup>-1</sup>, split mode  
155 1:100, injected sample volume 1 µL; initial oven temperature 120°C with heating from  
156 3°C min<sup>-1</sup> until 240°C. The temperature of the injector and detector was adjusted at  
157 250°C.

158

159 *2.5 Infrared Spectroscopy*

160 The oil obtained in the treatment of the best yield was evaluated by infrared  
161 spectroscopy (FTIR). This spectroscopic technique was used to investigate the  
162 composition of the functional groups of the oil. The analysis conditions were:

163 scanning from  $4000\text{cm}^{-1}$  to  $500\text{cm}^{-1}$ , transmittance, 32 scans, in the Shimadzu  
164 equipment brand, model IRPrestige-21.

165

166 **3. Results and Discussion**

167 *3.1 Residual oil yield*

168 Table 1 shows the oil yield and the moisture of each residue. Moisture analysis  
169 showed that head residue and viscera carcass residues exceed 90% and indicate a  
170 lean body composition of the fish because the amount of water is inversely  
171 proportional to the amount of fish fat [23].

172 The results obtained in the oil extractions show that the type of residue interfered in  
173 the oil content. When comparing the oil yield obtained from the head residue in  
174 Treatments 1 and 2 by Tukey's test, there is no statistical difference. Regarding the  
175 carcass residue with viscera in both treatments, the means of this residue differ  
176 statistically, and are of higher yield in oil than that obtained from the head.

177 The higher oil yield in this residue is justified by the presence of the visceral material.  
178 This result is confirmed by the IASTIAQUE MARTINS et al. [10], in obtaining oil from  
179 the tilapia residue, where the oil production was 22.02% for viscera and 9.23% for  
180 head. The means obtained in Treatments 1 and 2 differ statistically from each other  
181 and Treatment 2 is the one with the best yield in oil.

182 The volume of oil obtained from the fish residue can be influenced by the  
183 heterogeneity of the residue as it is obtained from the processing of several fish  
184 species. Seasonality is an aspect that should also be considered in oil yield [24]. The  
185 residue was sampled in January, but in the winter months (lower temperature and

186 shorter days) the fat rate increases with the reduction of fish metabolism. The volume  
187 of oil obtained in this study was small when compared to IASTIAQUE MARTINS et al.  
188 [10]. However, tilapia is a species grown in captivity and may present larger amounts  
189 of fat. Despite this, the oil obtained in this study represents, on average, a total of  
190 79.4 kg ton<sup>-1</sup> residue.

191

### 192 *3.2 Physico-chemical characterization of the oil*

193 The values of oils and fats applied to the raw material presented in Table 2 do not  
194 differ statistically between the treatments, except for the saponification index. The  
195 acidity index in both treatments presented results lower than 3mg KOH g<sup>-1</sup> of oil,  
196 requiring no refining step or esterification of the raw material for subsequent  
197 transesterification.

198

199 The raw material to obtain the oil was in a non-degraded state because the residue  
200 was sampled at the time of processing. The peroxide index evaluates the oxidation  
201 state of the oil and is applicable in the initial stages of oxidation [25]. In this study, the  
202 peroxide index presented a higher value in the oil obtained at the treatment T1, this  
203 result can be by the interval of the oil storage after the extraction. In the physical-  
204 chemical analysis of the oil obtained from the viscera of three species of freshwater  
205 fish, Segura et al. [26] showed in its study 27.27 meq O<sub>2</sub> Kg<sup>-1</sup> in peroxide index for  
206 curimbatá species. The value of the index is explained by the way of the samples  
207 were sampled and accumulated at room temperature. The oil of the fish residue  
208 contains polyunsaturated fatty acids with double bonds between carbons (Table 3). It

209 is likely that an auto-oxidation reaction occurs in the types of chemical structures of  
210 these acids, leading to the formation of peroxide [27] [17]. Another factor that  
211 influences this characteristic is the temperature, once the increase of temperature  
212 can decreases the rate of oxygen concentration, since it is less soluble at high  
213 temperature [25]. The saponification indices obtained in this study in the treatment T2  
214 are close to the values reported by the Segura et al. [26], in the three freshwater fish  
215 species analyzed. For the oil extracted at the treatment T1, the saponification index  
216 is close to the value obtained by Menegazzo et al. [14], for the hybrid sorubim oil.  
217 The iodine value of  $55.37 \text{ gl}_2 100\text{g}^{-1}$  and  $49.37 \text{ gl}_2 100\text{g}^{-1}$  for the both T2 and T1  
218 treatments, respectively, determined the percentage of unsaturations in the oil. The  
219 iodine value for fish oil is not contained in the legislation; however, when it is  
220 compared to some refined vegetable oils, the iodine content obtained in this study  
221 with oil produced from fish residue is lower than the iodine content of refined oils  
222 such as cotton seed oil, canola oil and corn oil [28]. The percentages for moisture  
223 parameters are above the transesterification limit and require drying for storage. The  
224 results obtained for petroleum ether insoluble impurities determine the presence of  
225 some compounds considered impurities, oxidized oils, inorganic residues and high  
226 melting point fats [29]. For a better removal of these impurities, a filtration step or  
227 increase of the spin cycle can be inserted in the separation of the phases of the  
228 mixture obtained in the extraction of the oil. The specific mass determined in the oil  
229 obtained from the best treatment (T2), presented a value of  $0.921 \pm 0.0094 \text{ g cm}^{-3}$ .  
230 This value is slightly above that allowed by the ANP for use in diesel cycle engines,  
231 however it is in accordance with ref. [17] where the authors found the value of  $0.919$   
232  $\text{g cm}^{-3}$  for corvina oil.

233

234     3.3 Gaseous Chromatography of Oil from Fish Residue

235     The fatty acid profile in the oil obtained from the fish residue at the Treatments T1  
236     and T2 have been characterized (Table 3) and (Fig. 1A and 1B). The lipid profile of  
237     the oil in this study consists of long chain fatty acids (between C12 and C22), ideal  
238     for the production of biodiesel as biofuel [30]. It also have shown a percentage in  
239     area of polyunsaturated fatty acids (arachidonic acid, EPA and DHA, i.e.) for the both  
240     T1 and T2 treatments, lower than saturated and mono-saturated fatty acids (Table 3).  
241     According to Vieira et al. [31], high concentrations of polyunsaturated fatty acids  
242     affect storage by the susceptibility to oxidation. Saturated chains have greater  
243     stability to auto-oxidation than in the presence of unsaturated or polyunsaturated  
244     chains [18].

245                 The oil of the fish residue produced with the two treatments showed average  
246     of 60% in the area of saturated and monounsaturated acids. This composition is  
247     beneficial to the biodiesel properties to be obtained from this oil. The level of  
248     saturated acids, such as palmitic, i.e., and the size of the carbon chain (18 carbons)  
249     was correlated with the dynamic viscosity of the biodiesel and the cold filter clogging  
250     point, respectively.

251                 High levels of monounsaturated fatty acids can affect the beneficial properties  
252     of biofuels. Thus, the importance of determining the fatty acid profile of the oil to be  
253     used as raw material for the production of biofuel is explained. In a study by  
254     Golimowski et al. [32], the authors related the fatty acid profile to the biodiesel such  
255     as a clogging point of the cold filter and the cetane index, which it measures the  
256     combustion quality of the biofuel and its influence by the degree of saturation and  
257     length of the carbonaceous chain [33]. Furthermore, the size of the carbon chains

258 determined in the fatty acid profile, indicate the type of ideal biofuel to be produced.  
259 In the a study carried out by the Vieira et al. [31] showed that the fatty acid profile  
260 obtained from the oil of the *Butia capitata* (C8-C18) seed was shown to be interesting  
261 for using as biofuel synthesized in mixtures with fossil kerosene.

262 The cooking temperature of the residue is a factor that may have influenced  
263 the area percentages of some fatty acids. The size of the chains modulate the  
264 melting temperature of the acids. It is possible to verify that lauric acid (melting point  
265 44°C) and myristic acid (melting point 58°C) decreased in area percentages with  
266 increasing temperature (T2). The same phenomenon occurred with stearic and  
267 arachidic acids with melting points of 71°C and 77°C, close to the cooking  
268 temperature of Treatment 2. Palmitoleic and arachidonic fatty acids have negative  
269 melting points and also decreased in the percentage of their area from the Treatment  
270 T1 to T2.

271 The size of the carbonic chains of the fatty acids and their amount of  
272 unsaturations and isomerism also influence the melting temperature. The both oleic  
273 and elaidic acid have cis and trans configurations, and they have melting points of  
274 13°C and 44°C, respectively. Unsaturated acids of cis configuration have lower  
275 stability to the rupture of their unsaturations than the acids with trans configuration.  
276 This is due to the linearity formed by the hydrogen atoms on opposite sides of the  
277 carbon chain in the trans configuration. The isomerism of these acids can explain the  
278 variations of their percentages in area.

279 The results obtained in this study regarding the saturations of the fatty acids of  
280 the oil, are in agreement with other residual raw materials of animal fats (Table 4).  
281 The palmitoleic and oleic fatty acids have similar in percentage of area with values of

282 14.79% and 24.93%, respectively, to the fatty acids found by Ouanji et al. [34] in the  
283 oil obtained from the fish processing residues. The oleic (18: 1n9c), palmitic (C16:00)  
284 and palmitoleic (C16:01) acids are the fatty acids found in a larger percentage of  
285 area in the residue of oil from this study (Fig. 1).

286

287 *3.3 Medium Infrared Spectrometry*

288 The infrared spectrometry technique is effective in evaluating the sample for the  
289 presence of functional groups. The oil spectra of the fish residue are shown in the  
290 Fig. 2. It is possible to observe that the oil spectrum presents an absorption band in  
291 the regions of  $3000\text{ cm}^{-1}$  corresponding to the alkanes at  $2925\text{ cm}^{-1}$  and  $2851\text{ cm}^{-1}$   
292 spectrum, and they are associated with the presence of the CH<sub>3</sub> group with  
293 asymmetric and symmetrical stretching vibrations in the atoms of carbon-bound  
294 hydrogen. The  $1740\text{cm}^{-1}$  peaks with intense oil absorption of the fish residue are  
295 associated with the stretching of the C = O carbonyl groups (Fig. 2). The absorption  
296 bands at  $1460\text{ cm}^{-1}$  at  $1375\text{ cm}^{-1}$  correspond to the vibration of the C-H deformation  
297 and the range of  $1231\text{ cm}^{-1}$  at  $1115\text{ cm}^{-1}$  is imparted to the vibrations of the ester  
298 group. The vibration at  $718\text{cm}^{-1}$  bound to the CH<sub>2</sub>.The results obtained in this  
299 analysis are similar to those reported by the Fadhil et al. [10] and the Kudre et al.  
300 [35].

301

302 **4. Conclusion**

303 The characterization of the oil obtained from the fish residue showed that this raw  
304 material presents similar indexes to other raw materials, as well as its chemical

305 composition, ideal for the conversion into biofuels. The oil's acidity index and  
306 humidity are below the limits set by the National Petroleum Agency (ANP) for direct  
307 transesterification, dispensing with pre-treatment and reducing the use of reagents  
308 and energy costs. However, the water content in the oil obtained from the residue in  
309 treatments T1 and T2 requires that a drying step be performed in order to avoid  
310 saponification of the sample, which reduces the biodiesel yield. The fatty acid profile  
311 of the oil showed the possibility in biodiesel production, besides the higher  
312 percentage in saturated and monounsaturated areas, an important factor for the  
313 oxidative stability of the biofuel. Further studies to extract the oil from the residue,  
314 need to be done in order to evaluate the time and temperature relationship in the oil  
315 yield obtained. This study confirms the importance of using waste to produce value-  
316 added materials. In addition to the regional socio-economic advantage, the  
317 separation and use of these wastes have a positive impact on the environment and  
318 on the lives of fishermen, since the waste will not be disposed of in the environment  
319 and also such waste can produce eco-friendly biofuel and characteristics.

## 320 **Acknowledgments**

321 To CAPES, CNPq and FAPERGS by the scholarships and financial support to this  
322 project.

## 323 **References**

324 [1] M.F. Brabo, L.F.S. Pereira, J.V.M. Santana, D.A.V. Campelo, G.C. Veras,  
325 Cenário atual da produção de pescado no mundo, no Brasil e no estado do Pará:  
326 ênfase na aquicultura, Acta Fish. Aquat. Res. 4 (2016) 50–58.  
327 doi:10.2312/ActaFish.2016.4.2.50-58.

- 328 [2] INSTITUTO BRASILEIRO DE GEOGRAFIA E ESTATÍSTICA - IBGE, Rio de  
329 Janeiro, 2015.  
330 [https://biblioteca.ibge.gov.br/visualizacao/periodicos/84/ppm\\_2015\\_v43\\_br.pdf](https://biblioteca.ibge.gov.br/visualizacao/periodicos/84/ppm_2015_v43_br.pdf).
- 331 [3] Decker, A.T. ; Andreazza, R. ; Otto, I. M ; Prates, R. M.; Maehler, A. E.;  
332 Nascimento, S.G. ; Quadro, M.S. ; Nadaleti, W. C. Cadeia Produtiva da Pesca  
333 Artesanal e Gestão Ambiental: crise e oportunidade em uma comunidade no sul do  
334 Brasil. REVISTA BRASILEIRA DE GESTÃO E DESENVOLVIMENTO REGIONAL,  
335 2018.
- 336 [4] W.M. dos Santos, B.S. Valente, W.C. Nadaletti, M.S. Quadro, S. Pieniz, R.  
337 Andreazza, C.F. Demarco, Production of Meal As a Tool for the Valuation of the Fish  
338 Residues, Ciênc. E Nat. 39 (2017) 767. doi:10.5902/2179460X28032.
- 339 [5] K. Jayathilakan, K. Sultana, K. Radhakrishna, A.S. Bawa, Utilization of  
340 byproducts and waste materials from meat, poultry and fish processing industries: A  
341 review, J. Food Sci. Technol. 49 (2012) 278–293. doi:10.1007/s13197-011-0290-7.
- 342 [7] FAO, The State of World Fisheries and Aquaculture, 2006. doi:978-92-5-  
343 105568-7.
- 344 [8] R.M. Vidotti, G. Goncalves, Produção e caracterização de silagem, farinha e  
345 óleo de tilápia e sua utilização na alimentação animal, Inst. Pesca - Line. (2006).  
346 [ftp://ftp.sp.gov.br/ftppeca/producao\\_caracterizacao.pdf](ftp://ftp.sp.gov.br/ftppeca/producao_caracterizacao.pdf).
- 347 [9] F. Queiroz, C. Valle, D. Vizerra, R. Moura, J. Malveira, M. Rios,  
348 Aproveitamento Dos Resíduos da Tilapicultura para Produção de Biodiesel:  
349 Caracterização e Avaliação de Misturas Com Biodiesel de Mamona, XIV ENEEAMB,  
350 II Fórum Lat. E I SBEA. 25 (2016) 445–451.

- 351 [10] A.B. Fadhil, E.T.B. Al-Tikrity, M.A. Albadree, Transesterification of a novel  
352 feedstock, *Cyprinus carpio* fish oil: Influence of co-solvent and characterization of  
353 biodiesel, *Fuel.* 162 (2015) 215–223. doi:10.1016/j.fuel.2015.09.001.
- 354 [11] V.T. Crexi, L.A. Souza-Soares, L.A.A. Pinto, Carp (*Cyprinus carpio*) oils  
355 obtained by fishmeal and ensilage processes: Characteristics and lipid profiles, *Int. J.*  
356 *Food Sci. Technol.* 44 (2009) 1642–1648. doi:10.1111/j.1365-2621.2009.01982.x.
- 357 [12] G. Iastiaque Martins, D. Secco, L.K. Tokura, R.A. Bariccatti, B.D. Dolci, R.F.  
358 Santos, Potential of tilapia oil and waste in biodiesel production, *Renew. Sustain.*  
359 *Energy Rev.* (2015). doi:10.1016/j.rser.2014.10.020.
- 360 [13] J. Fu, B.T.B. Hue, S.Q. Turn, Oxidation stability of biodiesel derived from  
361 waste catfish oil, *Fuel.* 202 (2017) 455–463. doi:10.1016/j.fuel.2017.04.067.
- 362 [14] M.L. Menegazzo, B. Franco Lucas, L. Boarin Alcade, M.E. Petenucci, G.  
363 Graciano Fonseca, Production of biodiesel via methyl and ethyl routes from Nile  
364 tilapia and hybrid Sorubim crude oils, *J. Environ. Chem. Eng.* 3 (2015) 150–154.  
365 doi:10.1016/j.jece.2014.12.011.
- 366 [15] A.B. Fadhil, E.T.B. Al-Tikrity, M.A. Albadree, Biodiesel production from mixed  
367 non-edible oils, castor seed oil and waste fish oil, *Fuel.* 210 (2017) 721–728.  
368 doi:10.1016/j.fuel.2017.09.009.
- 369 [16] F.F.P. Santos, L.J.B.L. Matos, S. Rodrigues, F.A.N. Fernandes, Optimization  
370 of the production of methyl esters from soybean waste oil applying ultrasound  
371 technology, *Energy and Fuels.* 23 (2009) 4116–4120. doi:10.1021/ef900290r.

- 372 [17] E.F. De Medeiros-junior, B. José, C. Fernandes, M.M. Alves, Physical and  
373 chemical properties bowels oil of green weakfish *Cynoscion virescens*, 5 (2017) 6–9.  
374 doi:10.2312/ActaFish.2017.5.2.i-iv.
- 375 [18] M.J. Dabdoub, J.L. Bronzel, M.A. Rampin, Biodiesel: visão crítica do status  
376 atual e perspectivas na academia e na indústria, *Quim. Nova.* 32 (2009) 776–792.  
377 doi:10.1590/S0100-40422009000300021.
- 378 [19] J. de Q. Mota, Francisco de Assis da Silva;Filho, José Tarcisio Costa; Lima,  
379 Auceliane André da Silva; Santos, Francisco Francielle Pinheiro dos; Malveira,  
380 Desenvolvimento De Uma Unidade Piloto Destinada A Extração Do Óleo De  
381 Visceras De Tilápia Para Posterior Utilização Na Cadeia Produtiva De Biodiesel, 3. 4  
382 (2014) 1252–1269.
- 383 [20] G. Iastiaque Martins, D. Secco, L.K. Tokura, R.A. Baricciatti, B.D. Dolci, R.F.  
384 Santos, Potential of tilapia oil and waste in biodiesel production, *Renew. Sustain.*  
385 *Energy Rev.* 42 (2015) 234–239. doi:10.1016/j.rser.2014.10.020.
- 386 [21] A. Lutz, Óleos E Gorduras, Métodos Físicos-Químicos Para Análise Aliment.  
387 (2008) 589–625. doi:10.1017/CBO9781107415324.004.
- 388 [22] C.W. Moss, M. a Lambert, W.H. Merwin, Comparison of rapid methods for  
389 analysis of bacterial fatty acids., *Appl. Microbiol.* 28 (1974) 80–85. [19] C.W. Moss,  
390 M. a Lambert, W.H. Merwin, Comparison of rapid methods for analysis of bacterial  
391 fatty acids., *Appl. Microbiol.* 28 (1974) 80–85.
- 392 [23] M.G. Minozzo, Processamento e Conservação do Pescado, Curitiba, 2011.  
393 [http://proedu.ifce.edu.br/bitstream/handle/123456789/411/Processamento\\_e\\_Conser](http://proedu.ifce.edu.br/bitstream/handle/123456789/411/Processamento_e_Conser)  
394 [vacao\\_do\\_Pescado.pdf?sequence=1&isAllowed=y](#).

- 395 [24] C.E. Fernandes, M.A.D.S. Vasconcelos, M. De Almeida Ribeiro, L.A. Sarubbo,  
396 S.A.C. Andrade, A.B.D.M. Filho, Nutritional and lipid profiles in marine fish species  
397 from Brazil, Food Chem. 160 (2014) 67–71. doi:10.1016/j.foodchem.2014.03.055.
- 398 [25] E.A.A. Sanibal, J. Mancini Filho, Alterações Físicas , Químicas e Nutricionais  
399 de Óleos Submetidos ao Processo de Fritura, in: Food Ingr South Am, 2002: pp. 64–  
400 71. <http://hygeia.fsp.usp.br/~eatorres/gradu/frituras.pdf>.
- 401 [26] E.M.M. Segura, J.G.; Bragagnolo, Neuza; Simon, S.J.G.B.; Balieiro, J.C.C.;  
402 Vargas, S.C.; Viegas, Characterization of fish oils extracted by freezing from  
403 freshwater fish viscera, in: World Aquac. Soc. Me, Praga, 2012: p. 2.  
404 <https://www.was.org/meetings>ShowAbstract.aspx?Id=26565>.
- 405 [27] C.Y. Lin, R.J. Li, Characterization of fish oil extracted by freezing from  
406 freshwater fish viscera, in: Fuel Process. Technol., Elsevier B.V., 2009: pp. 130–136.  
407 doi:10.1016/j.fuproc.2008.08.002.
- 408 [28] G.D.O. Ministro, Ministério da Agricultura, Pecuária e Abastecimento BINAGRI  
409 - SISLEGIS, (2018) 1–10.
- 410 [29] A.J. Tofanini, Controle de Qualidade de óleos Comestíveis, Universidade  
411 Federal de Santa Catarina, 2004.
- 412 [30] Biodiesel Standard; ASTM PS 121, USA, 1999.
- 413 [31] B.M. Vieira, C. Elicker, C.F.P. Nunes, A. V. Bairros, E.M. Becker, D.M. de  
414 Oliveira, E. Piva, L.A.M. Fontoura, C.M.P. Pereira, The synthesis and  
415 characterization of Butia capitata seed oil as a FAME feedstock, Fuel. 184 (2016)  
416 533–535. doi:10.1016/j.fuel.2016.07.052.

- 417 [32] W. Golimowski, W.A. Berger, P. Pasyniuk, W. Rzeźnik, M. Czechlowski, A.  
418 Koniuszy, Biofuel parameter dependence on waste fats' fatty acids profile, Fuel. 197  
419 (2017) 482–487. doi:10.1016/j.fuel.2017.02.067.
- 420 [33] R. Yahyaei, B. Ghobadian, G. Najafi, Waste fish oil biodiesel as a source of  
421 renewable fuel in Iran, Renew. Sustain. Energy Rev. 17 (2013) 312–319.  
422 doi:10.1016/j.rser.2012.09.025.
- 423 [34] F. Ouanji, K. Kara, E.M. Lotfi, M. El Mahi, M. Kacimi, M. Ziyad, Biodiesel  
424 production from waste fish oil with high free fatty acid content from Moroccan fish-  
425 processing industries, Egypt. J. Pet. (2017). doi:10.1016/j.ejpe.2017.07.010.
- 426 [35] T.G. Kudre, N. Bhaskar, P.Z. Sakhare, Optimization and characterization of  
427 biodiesel production from rohu (*Labeo rohita*) processing waste, Renew. Energy. 113  
428 (2017) 1408–1418. doi:10.1016/j.renene.2017.06.101.

429 **Highlights**

430

431 - The colony of the Fisherman under study have substantial environmental and  
432 socioeconomics problems.

433 - The waste of the fish processes have high environmental problems because of the  
434 nitrogen, fatty and other pollutants wide sprid into the environment.

435 - The waste of the fish treatment for foods have high afinity for producing other  
436 products such as fish oil for biodiesel.

437 - The oil produced in this study promoted a high potential for sustainable of the  
438 artesanal fish activities by biodiesel production.

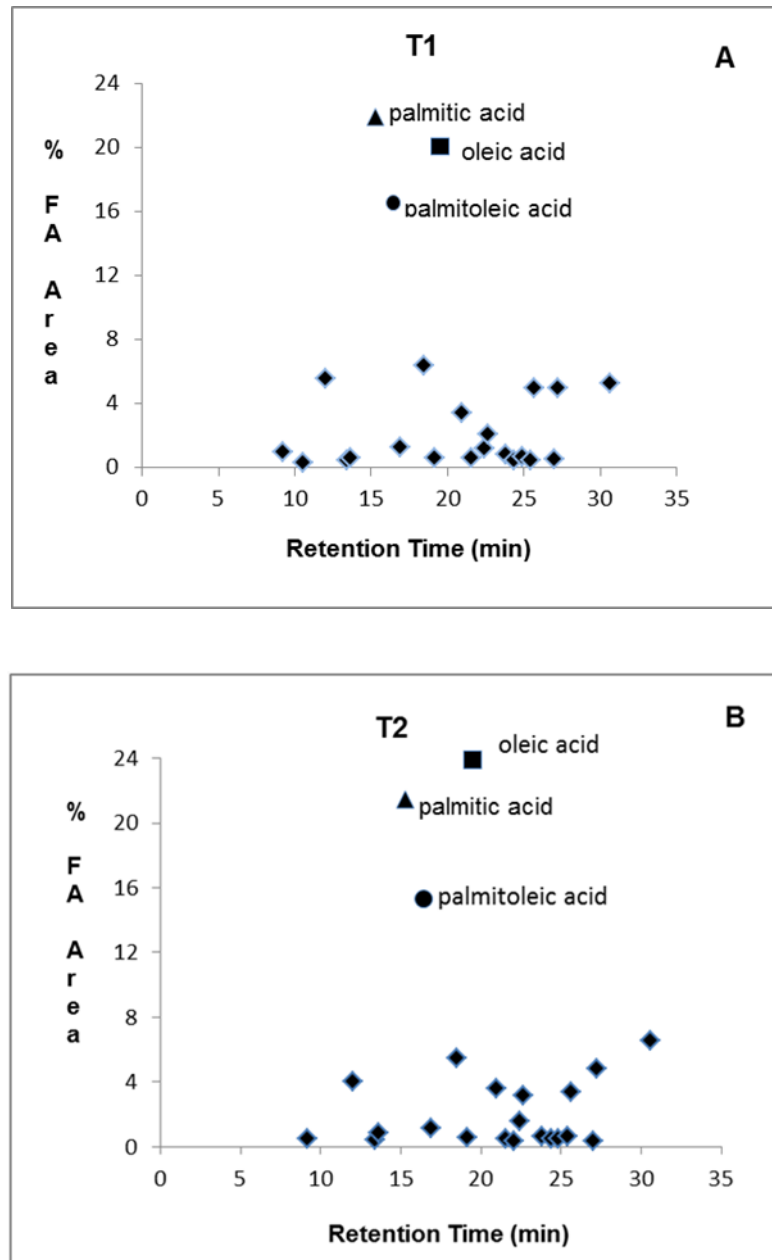
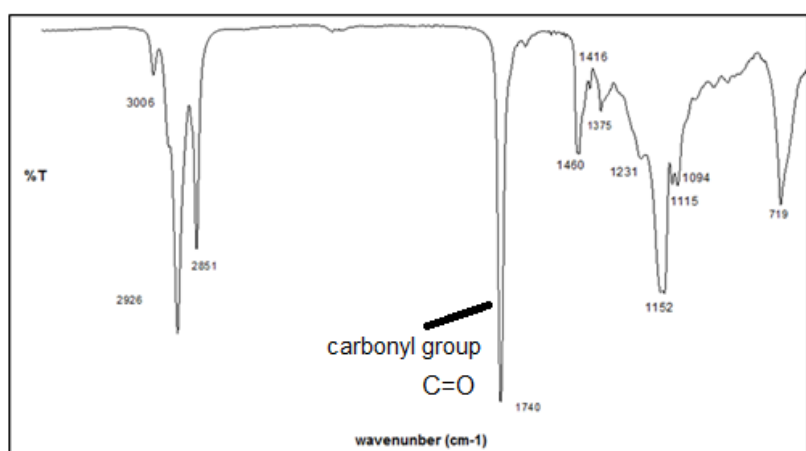


Fig.1. Percentage of fatty acid area of oil produced from different residues: T1 treatment (60°C/120 min cooking) (A) and T2 treatment (80°C/90 min cooking) (B). Squares are the oleic acid (■), triangles are the palmitic acid (▲) and circles are the palmitoleic acid (●).



**Fig. 2.** Analysis of the oil extracted from the fish residue by Treatment 2 by the medium infrared technique

**Table 1**

Yield of oil production and residue moisture

Treatments	Head	Carcass/viscera
----- % -----		
T1 <sub>a</sub>	1.61±0.31 <sub>a*</sub>	2.36±0.25 <sub>b</sub>
T2 <sub>b</sub>	3.06±0.82 <sub>a</sub>	4.88±0.56 <sub>a</sub>
Moisture	92.48±0.24 <sub>b</sub>	93.34±0.14 <sub>a</sub>

\*Values are the means and standard deviation of the extractions. Same letters means that there is no statistically difference. The Tukey test was applied at the 5% probability error.

**Table 2**

Indexes estimated of the oil produced from the fish residues at the T1 (60°C/120 min of cooking) and T2 (80°C/90 min of cooking) treatments such as: acid index (AI), peroxide index (PI), saponification index (SI), iodine value (IV) and percentage of the moisture and impurities in the ether.

	AI mg KOH g <sup>-1</sup>	PI meq O <sub>2</sub> K g <sup>-1</sup>	SI mg KOH g <sup>-1</sup>	IV g I <sub>2</sub> 100 g <sup>-1</sup>	Moisture .....%.....	IE**
	mg KOH g <sup>-1</sup>	meq O <sub>2</sub> K g <sup>-1</sup>	mg KOH g <sup>-1</sup>	g I <sub>2</sub> 100 g <sup>-1</sup>	.....%.....	
T1	0.58±0.02 a*	23.15±3.39 a	207.56±8.65 b	49.37	0.65±0.05 a	5.17±0.89 b
T2	0.58±0.03 a	17.18±2.50 a	244.06±4.96 a	55.37	0.81±0.03 a	9.67±1.63 a

\*Values are the means and standard deviation of the extractions followed by the same letter do not differ statistically from each other. The Tukey test was applied at the 5% probability of error. \*\*IE means Impurities in the ether.

**Table 3**

439 Fatty acid profile of oil extracted from fish residues in oil produced from the different  
 440 fish residues: treatment T1 (60°C/120 min of cooking), and treatment T2 (80°C/90  
 441 min of cooking).

Fatty acids	Carboxylic chain	T1 (%)	T2 (%)
<b>lauric</b>	12:00	0,97	0,46
	13:00	0,32	—
<b>myristic</b>	14:00	5,53	4,02
	14:01	0,44	0,41
<b>myristoleic</b>	15:00	0,63	0,82
	16:00	21,90	21,45
<b>palmitic</b>	16:01	16,53	15,31
	17:00	1,27	1,16
<b>stearic</b>	18:00	6,39	5,45
<b>elaidic</b>	18:1n9t	0,57	0,54
<b>oleic</b>	18:1n9c	20,06	23,90
<b>linoleic</b>	18:2n6c	3,41	3,61
<b>arachidic</b>	20:00	0,61	0,50
<b>γ linolenic</b>	18:3n6		0,33
<b>gadoleic</b>	20:01	1,21	1,55
<b>α linoleic</b>	18:3n3	2,07	3,13
	20:02	0,81	0,64
<b>behenic</b>	22:00	0,42	0,48
	20:3n6	0,69	0,48
<b>arachidonic</b>	20:3n3	0,43	0,66
	20:4n6	5,00	3,36
<b>lignoceric</b>	24:00:00	0,49	0,31
<b>eicosapentaenoic (EPA)</b>	20:5n3	4,97	4,83
<b>docosahexanoic (DHA)</b>	22:6n3	5,29	6,57
Σ Saturated		38,53	34,66
Σ MUFA		38,80	41,72
Σ PUFA		22,67	23,62
Σ Unsaturated		61,47	65,34

442

\*EPA – eicosapentaenoic acid; \*\*DHA – docosahexaenoic acid

**Table 4**

Comparison of the percentage of the saturation level of the oil of Treatment 2 with the degree of saturation of residual raw materials used to obtain biodiesel.

	WFO(T2)	ROCP*	WAF**	WFO***
Σ Saturated (%)	34,66	22,58	39,82	25,81
Σ MUFA (%)****	41,72	42,24	43,18	63,21
Σ PUFA (%)*****	23,62	24,33	17,49	9,56
Σ Unsaturated (%)	65,3	66,57	60,67	72,77

\*Reference [34]; \*\*Reference [32]; \*\*\*Reference [15]. ROCP - residual oil from chickens and pigs; WAF - animal fat residues; WFO - residual fish oil; \*\*\*\* Σmonounsaturated fatty acids; \*\*\*\*\*Σpolyunsaturated fatty acids.

## **5. Artigo 2**

O artigo Produção do biodiesel a partir do óleo do resíduo do pescado pelos métodos convencional e assistido por ondas ultrassônicas, está de acordo com as normas da ***Revista Fuel***, Engenharias II e fator de impacto 4.601.

# **Production of biodiesel from fish oil by the conventional method and assisted by ultrasonic waves**

Eliane Freitas de Medeiros <sup>1\*</sup>; Bruno Muller Vieira <sup>1</sup>; Cláudio Martin Pereira de Pereira<sup>1</sup>, Willian Cézar Nadaleti<sup>1</sup>, Maurízio Silveira Quadro<sup>1</sup>, Robson Andreazza<sup>2\*</sup>

<sup>1</sup>, Laboratory of Environmental Chemistry, Center of Engineering - Federal University of Pelotas, 96010-020, Pelotas, RS, Brazil.

## Abstract

The current supply of energy has received increased attention from the government and the population. Biofuels have great ecological advantages, especially when they are obtained from waste with potential problems for environmental pollution. In the present research, biodiesel was produced from the oil of the fish residue obtained in the colony of Z-3 fishermen, in Brazil, and the experiments were developed with two different methods of producing biofuels. The fish residue was thermally treated to extract the fatty material, and the biodiesel was produced by the method of heating and stirring and assisted by ultrasonic waves. Yields of  $92.37 \pm 1.74\%$  and  $97.95 \pm 0.69\%$  were verified at reaction times of 30 and 60 minutes, respectively in the conventional method. The ultrasonic method provided higher yields in biodiesel at the sonication time of 2 minutes at the frequency of 20 kHz. The acidity indexes obtained are below the limit determined by the Brazilian National Petroleum Agency (ANP). Infrared spectroscopy confirms the conversion of the waste oil to biodiesel. Photometry and Atomic Absorption Spectrometry determined high concentrations of sodium, potassium and magnesium metals in biodiesel. Furthermore, the production

24 of biodiesel from a potential waste that can contaminate the environment, such as  
25 fish waste, promoting a social and economic increase in a society like Fishermen's  
26 Colony Z-3.

27 Keywords: biodiesel; transesterification; ultrasonic waves; heating and stirring;  
28 infrared spectroscopy.

29 **1. Introduction**

30 Basic anthropogenic activities and the development of production processes require,  
31 among other inputs, energy, whose main source is obtained from petroleum.  
32 According to Carvalho, [1], petroleum consolidated the modern industrial model  
33 (mass production), with the most dynamic sectors boosting the growth of industries  
34 and their production lines. With the increase in the use of this non-renewable  
35 resource in the last decades, biodiesel has become an alternative biofuel due to the  
36 serious exhaustion of the same, the increase in the price over the years [2] and  
37 increase of environmental concerns [3] one of the important problems is that the  
38 largest source of greenhouse gases are motor vehicles [4]. In Brazil the search for an  
39 alternative, renewable, technically and economically viable fuel has grown  
40 considerably in recent years [5]. In 2015, biodiesel production capacity in Brazil was  
41 around 7.4 million m<sup>3</sup> and the Rio Grande do Sul was the largest producer, with a  
42 volume of 1.1 million m<sup>3</sup>, equivalent to 28.3% of the national total [6].

43 Biodiesel is a biofuel composed of a mixture of alkyl esters of long chain fatty acids  
44 obtained by the transesterification reaction of vegetable oils or animal fats [7-9]. This  
45 reaction is based on the conversion of fatty acids to esters in order to reduce the  
46 viscosity of the oil [7], a parameter that prevents its use directly as biofuel. The  
47 conversion occurs with the aid of short chain alcohols (ethanol or methanol) and is

48 catalyzed by chemical species that can be enzymes [3], acids and bases Bronsted  
49 Lowry [10] and heterogeneous catalysts [11]. It is a biofuel advantageous when  
50 compared to petroleum fuels. Because it is renewable, its use allows reductions in  
51 emissions of CO<sub>2</sub>, SO<sub>2</sub>, particulate matter in the atmosphere [10] to contribute to the  
52 mitigation of emissions of greenhouse gases [12]. Another important feature of  
53 biodiesel is regionalization, which emphasizes the use of available local raw  
54 materials [13], including residual material and does not compete with food  
55 production. In Brazil, soybean oil continued to be the main raw material for biodiesel  
56 production, equivalent to 77.7% of the total [1].

57 To produce biodiesel, oils and fats can be obtained from tailings from industrial  
58 processes. The use of organic waste as a raw material for the production of biofuels  
59 is a new approach to solve waste management issues [14]. Among the processes  
60 that generate organic waste, we can mention fish farming, where fish processing  
61 units generate a significant amount of by-products, which can be an important source  
62 of energy, food or industrial raw materials [15]. The fish farming activity in Brazil  
63 produced around 483,000 tons of fish, in 2015 representing an increase of 1.5% in  
64 relation to the previous year [16]. Consequently, the volume of residue generated by  
65 this activity includes: head, fins, skin, scales [17], especially the viscera, rich in fats  
66 and are generally discarded in the environment: dropped into the springs, buried or  
67 left on the ground [18 ], [19] generating environmental problems. The conventional  
68 method for the industrial production of oil involves the steps of baking, pressing and /  
69 or filtering and centrifuging the material [14]. The oil obtained from the fish residue,  
70 mainly from the visceral residue, has its final quality influenced by the acidity. A  
71 process of degradation of the oil by hydrolysis or oxidation, is related to the acidity  
72 that almost alters the concentration of the hydrogen ions [20].

73 According to the study of [21], crude oil obtained from tilapia viscera had a higher  
74 acid value ( $2.67 \text{ mg KOH g}^{-1}$ ) than oil obtained from the head ( $0.1 \text{ mg KOH g}^{-1}$ ). The  
75 high acidity of the oil ( $> 2 \text{ mg KOH g}^{-1}$ ) hinders the transesterification reaction [21], as  
76 it impairs the conversion of fatty acids to alkyl esters, reducing yield due to the  
77 formation of soap [8]. The raw material in these conditions requires the refining  
78 process, which includes degumming, neutralizing, washing, dehumidifying and drying  
79 steps [22], refined when the acidity above the allowed tilapia oil was verified for  
80 transesterification. In addition to acidity, oil extracted from fish waste may not meet  
81 the quality criteria required for nutritional purposes [23]. Therefore, the application of  
82 this oil as a sustainable energy source is an effective way to reduce the cost of waste  
83 disposal and energy supplement [24].

84 The use of fish waste to obtain products with added value in this study was based on  
85 the systemic concept of sustainability. The environmental problems caused by the  
86 tailings of fishing activity can be minimized when it becomes a raw material for the  
87 acquisition of products such as flour [17], fertilizer and oil [25]. Previous studies on  
88 captive fish waste oils [21-26] such as Nile tilapia and catfish, for example, obtained  
89 biodiesel with characteristics appropriate for use in a diesel engine, according to the  
90 specifications established by the ANP [26] [27]. Biodiesel is a biofuel from  
91 environmentally correct biomass, a substitute for mineral diesel oil [28]. The future of  
92 more environmentally friendly energy systems is related to the production of energy  
93 from the residual biomass [29]. These products favor the socio-economic  
94 development of a region, stimulating new productive activities, assisting artisanal  
95 fishermen in periods of restriction (the closed period), increasing the assistance  
96 granted by the government in this period.

97 Moreover, the objective of this study was to obtain biodiesel from oil extracted from  
98 the fish residue. The biofuel was produced by conventional transesterification and  
99 assisted by ultrasonic waves under homogeneous alkaline catalysis, in order to  
100 observe the yields in the two techniques and to characterize it in the acid and  
101 peroxide index and the presence of metals.

102

103 **2. Methodology**

104 *2.1 Materials*

105 *2.1.1 Samples and reagents*

106 The residue was obtained from fish processing units the Z-3 Fishermen's Colony,  
107 Pelotas, Rio Grande do Sul, Brazil. The residual material was fractionated and heat  
108 treated for oil extraction, which was kept under refrigeration until use. It was obtained  
109 biodiesel from soybean oil certified 1484 Oleoplano (January 2017) from LAB-BIO,  
110 Federal University of Rio Grande do Sul.

111 Analytical grade reagents were used for the analyzes: sodium hydroxide in  
112 microbeads, methyl alcohol, 37% pure hydrochloric acid, ethyl ether, ethyl alcohol,  
113 glacial acetic acid, chloroform and phenolphthalein indicator.

114

115 *2.2 Methods*

116 *2.2.1 Biodiesel Production*

117 *2.2.1.1. Oil Degumming*

118 In a pre-stage the crude oil was degummed for the removal or inactivation of  
119 phospholipids present in the oil. For this, 5% by mass of distilled water was added to  
120 the oil, brought to stirring at 300 rpm for 20 minutes at 60°C, then centrifuged,  
121 removed the moisture and the acid value checked.

122

123 *2.2.1.2 Preparation of methoxide*

124 The mass and the molar fraction of the catalytic and alcohol reactants, respectively,  
125 were based on the literature [24] [30] considering the best yield in biodiesel obtained.  
126 The methoxide was prepared by mixing the sodium hydroxide catalyst (0.5% w/w) in  
127 methyl alcohol (1: 6). The reagents were placed in a beaker covered with watch glass  
128 in order to avoid losses of alcohol by volatilization. The solution was gently stirred  
129 and heated, and after dissolution of the catalyst was added to the oil for reaction.

130

131 *2.2.1.3 Production of biodiesel by the conventional method*

132 For the production of the fatty acid methyl esters, the degummed oil was subjected to  
133 the conventional transesterification using 50°C of heating. Under the temperature  
134 and ambient pressure, the process was carried out in triplicate at the reaction times  
135 of 30 minutes and 60 minutes and stirring at 600 rpm on a KASVI shaker.

136

137 *2.2.1.4 Production of biodiesel assisted by ultrasonic waves*

138 The conversion of fatty acids to methyl esters assisted by the ultrasonic technique  
139 was performed using the Unique device, model DES500, 500 Watts, titanium tip 13

140 mm in diameter. The parameters adapted from the study of [31], ultrasonic frequency  
141 20 kHz and 40 kHz, were optimized at times of 1, 2 and 3 minutes. In triplicate, the  
142 methoxide was mixed with the oil samples. The ultrasonic tip was positioned at the  
143 oil: alcohol interface, sonicating the mixture with brief intervals every 1 minute of  
144 reaction.

145 *2.2.1.5 Phase separation*

146 After the end of the reaction in each process, the obtained mixture was taken to the  
147 separating funnel to separate the biofuel from the heavier phase which is the  
148 glycerin. The lighter phase (biodiesel) received 3 washes with distilled water at 40°C  
149 being the first one with a drop of 37% concentrated hydrochloric acid. After that, the  
150 biodiesel was dried and biodiesel produced was determined by Equation (1):

$$151 R (\% \text{ w/w}) = (m_b/m_o) \times 100\% \quad (1)$$

152 Where:

153 R = biodiesel yield in percentage

154  $m_b$  = mass of biodiesel obtained by the method used (g)

155  $m_o$  = mass of oil (g)

156 After drying the samples, the biofuel obtained in the best condition of each  
157 transesterification technique (agitation and heating and under ultrasonic waves) was  
158 characterized according to the following methodology.

159

160 *2.2.2 Physico-chemical characterization of oil and biodiesel*

161 The acid index and the peroxide index of the biofuel obtained and of the certified  
162 biodiesel were determined according to the Physical-Chemical Methods of the Adolfo  
163 Lutz Institute, 2008 [20]. The specific mass of the biofuel obtained in the best yield  
164 transesterification method was determined.

165

166 *2.2.2.1 Infrared spectroscopy*

167 The oil obtained from the fish residue and the biodiesel obtained were analyzed by  
168 infrared spectroscopy (FTIR). The analysis conditions were: scan of 4000cm<sup>-1</sup> and  
169 500 cm<sup>-1</sup>, transmittance, 32 scans, in the equipment brand Shimadzu, model  
170 IRPrestige-21.

171

172 *2.2.2.2 Determination of metallic elements (calcium, magnesium, sodium and*  
173 *potassium) in the biodiesel.*

174 The biofuel samples were prepared based on the emulsion formation of the sample  
175 according to [32], where 0.5g of the sample was mixed with 1.5 mL of formic acid, 15  
176 drops of Triton X-100 that facilitates the dispersion between the oil/water phases,  
177 increasing the precision of the results, and 3 drops of Anti-foam to ensure the stability  
178 of the emulsion. White and standards were similarly prepared with mineral oil and the  
179 volume was supplemented with deionized water. Samples and standards were  
180 vigorously shaken prior to each reading. Calcium and magnesium elements were  
181 quantified in the Perkin Elmer AA 200 atomic absorption spectrometer. The sodium  
182 and potassium elements were quantified in the photometer B-462. The limits of  
183 detection and quantification are presented in Table 5.

184     2.2.2.3 *Gas chromatography*

185     The biodiesel obtained in the best transesterification method was subjected to gas  
186     chromatographic analysis by flame ionization to determine the fatty acid profile of the  
187     biofuel.

188     For the chromatographic analysis, a mass of 150 mg of oil from each treatment was  
189     esterified and converted into the respective methyl methyl esters (FAME) according  
190     to the method "B" of Moss, Lambert and Merwin [22]. In a 50 mL volumetric flask, 6  
191     mL of 2% KOH solution in methanol (m / v) was added under stirring and heating at  
192     80 ° C for 8 min at reflux. After this period, 7 mL of boron trifluoride-methanol was  
193     added with stirring for 2 min and 5 mL of 20% (w / v) sodium chloride solution. The  
194     organic phase containing the esterified fatty acids was separated using 20 mL of  
195     hexane and then evaporated on a rotary evaporator and dried to constant weight.

196     After that, fatty acid methyl esters were analyzed from the normalized area and their  
197     respective retention times (TR) were compared to the FAME 37-MIX standard  
198     (Supelco, USA) using a Flame Ionization Gas Chromatograph - GC / FID 2010  
199     (Shimadzu), and column SP 2560. For analyzing the lipid profile, the operating  
200     conditions were: hydrogen as carrier gas in the flow of 1.2 mL min<sup>-1</sup>, split mode  
201     1:100, injected sample volume 1 µL; initial oven temperature 120°C with heating from  
202     3°C min<sup>-1</sup> until 240°C. The temperature of the injector and detector was adjusted at  
203     250°C.

204

205     **3. Results and Discussion**

206     **3.1 Conventional method for transesterification process**

207 The oil of the residue after degumming presented acidity index 0.53 mg KOH g<sup>-1</sup> oil.  
208 As described above, the acid value of the oil to be transesterified influences biodiesel  
209 yield. In other study, the authors prove that the yield of the reaction decreased as the  
210 acidity index of the oil increased [24]. Reduction of the acid number from 3.5 mg  
211 KOH g<sup>-1</sup> to 0.65 mg KOH g<sup>-1</sup> oil increased the reaction yield from 61.5% to 77%.  
  
212 In this study, it was observed at the initial moment of the reaction the changes in the  
213 color of the mixture with the addition of the methoxide and the maintenance of this  
214 phenomenon until the end of the reaction. After the production of biodiesel, the  
215 phases of the mixture were separated by decantation.  
  
216 The Fig. 1 shows the yields in biodiesel obtained for the degummed oil with the  
217 variation of the reaction time. The literature reports biodiesel syntheses for fish waste  
218 oils in 20 minutes [26], but most conventional processes use 60 minutes of reaction  
219 [23][24]. In this study, the results showed that the increase in the interaction time  
220 under heating between the oil and the methoxide increased the conversion of  
221 triglycerides to biodiesel, proving the importance of the time to reaction factor.  
222 Likewise, the temperature was influential in the process. According to ref. [23] and  
223 [24], the maximum yield in methyl biodiesel is with 55 ° C because the methanol  
224 became evaporated and the conversion is lower. The mathematical averages were  
225 obtained in the two reaction times differ statistically from each other by the Tukey test  
226 at the 5% probability level. The highest yield in biodiesel is similar to that found by  
227 Menegazzo et al. [30], for methyl biodiesel obtained from Nile tilapia oil (96.98%)  
228 under the same proportions of reagents:

229 The obtained glycerin had a dark coloration (Fig. 2) and the difference in the process  
230 times can be confirmed visually by the volume and viscosity characteristics of the  
231 glycerin.

232 In 60 minutes of reaction, this product had lower volume and lower viscosity than the  
233 glycerin obtained in 30 minutes. The viscosity is related to the degree of saturation of  
234 the fatty acid chains that compose the oils, and the degree of saturation is associated  
235 to the deterioration of the same ones.

236 As previously stated, the purpose of the transesterification process is to reduce the  
237 viscosity of the oils. The values presented in the peroxide indices (Fig. 3A) of the  
238 biofuel obtained in the two times, confirm the efficiency of the process when  
239 observed to the reduction of this index. The time factor was again important in the  
240 process because the peroxide index was 56% smaller with the increase of the  
241 reaction time. The values of acidity (Fig. 3B) and the specific mass ( $0.895 \pm 0.00$  g  
242  $\text{cm}^{-3}$ ) of the biodiesel obtained by the conventional method are below the limit  
243 determined such as  $0.5\text{mg KOH g}^{-1}$ , determined by ANP [33].

244

### 245 *3.2 Transesterification assisted by ultrasonic waves*

246 The averages and standard deviation of the percentages of biodiesel yields produced  
247 under the ultrasonic frequency of 20 kHz and 40 kHz, respectively, at reaction times  
248 of 1, 2 and 3 minutes are shown in Fig. 4 and Fig. 5. For the times and frequencies,  
249 the means do not statistically differ in the probability level of 5%, for the times of 1, 2  
250 and 3 minutes and between the frequencies of 20 kHz and 40 kHz:

251 The reaction time increases the temperature to ensure that the mixture of the oil and  
252 alcohol phases is efficient. The highest yields for the two frequencies evaluated in  
253 this study were verified for 2 minutes of sonication. The reaction time of 1-1.5  
254 minutes proved to be ideal in the study of [31] at the conclusion of the conversion  
255 reaction in biodiesel of frying residual oil by direct sonication. The authors used the  
256 same amount of basic catalyst used in this study, however, with a methanol: oil molar  
257 fraction of 9: 1. However, increasing the frequency from 20 kHz to 40 kHz caused the  
258 biodiesel yield to decrease in the same times studied. The result is explained by the  
259 increase in the ultrasonic frequency, which causes a reduction in the cavitation. The  
260 cavitation phenomenon is originated by the sonic wave and infers in increasing the  
261 temperature of the reaction medium with the rupture of micro-bubbles, promoting the  
262 desired chemical reactions [31]. In the transesterification process, these reactions  
263 include mixing two initially immiscible liquids and increasing the reaction temperature.

264 Unlike the visual characteristics of the products obtained in the conventional  
265 transesterification, the biodiesel-glycerin separation proved to be more difficult in the  
266 ultrasonic technique.

267 Glycerin presented a clear color (Fig. 6) and particulate matter of difficult biodiesel  
268 separation, which affected the biofuel yield calculation. The acidity index (Fig. 7A)  
269 and peroxide indices (Fig. 7B) of biodiesel determined for the two frequencies used,  
270 shown in this technique the reduction of the two indices. The acidity indexes are well  
271 below the limit specified by the ANP, and the biodiesel obtained at the frequency of  
272 20 kHz presented a lower peroxide index:

273 The certified soybean biodiesel was submitted to analysis of acidity index and  
274 peroxide index, presenting  $0.05 \pm 0.01$  mg KOH g<sup>-1</sup> and  $0.82 \pm 0.01$  meq O<sub>2</sub> Kg<sup>-1</sup>,

275 respectively. The acidity index found for certified biodiesel represents the average  
276 acidity obtained between the time of 30 minutes and 60 minutes of the **conventional**  
277 transesterification process. When compared to the biodiesel certified in these indices,  
278 the biodiesel of the fish oil obtained in this study presented good results, that is,  
279 below that allowed by the National Petroleum Agency (ANP).

280

281 *3.3 Factors influencing biodiesel yield in conventional and ultrasonic wave assisted*  
282 *methods*

283 According to ref. [24], obtained 79.6% and 78% biodiesel yields for the ultrasonic and  
284 conventional methods, respectively, and showed that temperature has more effects  
285 in the conventional than in the ultrasonic method. The authors report that the bubbles  
286 produced in the cavitation at temperatures above 55 °C cause the lowest conversion  
287 by evaporation of methanol. In this study, the conventional method presented better  
288 performance, a fact that is explained by the effects of temperature that could be  
289 controlled in all processes.

290 The studies of [36] and [24] obtained higher yields in biodiesel in the ultrasonic  
291 method than in the conventional method for vegetable oils and animal fats,  
292 respectively (Table 1).

293 The position of the ultrasonic tip at the oil: alcohol interface is a factor to be  
294 considered in the lower yield obtained in this biodiesel research compared to the  
295 conventional method in this research. In the study [34], it was observed that the  
296 effect of the tip position caused the biodiesel conversion to be 8.5% when immersed  
297 in the oil phase, 58.5% when located at the interface of the two phases and the

298 maximum of the conversion was observed in 89.5% when immersed in the alcohol  
299 phase. The authors explain that methanol favors cavitation conditions due to micro  
300 turbulence generated by ultrasound at this stage. The intensity of microturbulence  
301 and the physical properties of the reaction medium in the transesterification were  
302 studied by [35] and showed that the dispersion of methanol in oil is uniform, reducing  
303 the interfacial area for the reaction and, therefore, the biodiesel yield. Table 1 shows  
304 the yields in biodiesel obtained from several residual raw materials by conventional  
305 and ultrasonic wave assisted transesterification methods.

306

307 *3.4 Infrared spectroscopy*

308 Infrared spectra of the oil and biodiesel obtained showed characteristic absorption  
309 peaks. The infrared method is effective in evaluating the conversion of triglycerides to  
310 methyl esters in both processes (conventional and assisted by ultrasonic waves):

311 In Fig. 8, it is possible to observe the absence of absorption bands between the  
312 wavelengths  $3,500\text{cm}^{-1}$  and  $3,100\text{cm}^{-1}$  related to the axial deformation of the OH  
313 group suggesting that there is no water or residual alcohol in the biodiesel. In  
314 addition, the absence of absorption in this range indicates that there was effective  
315 separation of the transesterification products. According to [39] spectra for glycerol  
316 and biodiesel from animal fat showed absorption peaks in this wavelength range  
317 revealing contamination of the biofuel by glycerol. The oil spectrum shows an  
318 absorption band in the region of  $3,000\text{ cm}^{-1}$  corresponding to the alkanes. The  
319 spectra obtained at  $2,925\text{cm}^{-1}$ ,  $2,922\text{cm}^{-1}$  and  $2,850\text{cm}^{-1}$ ,  $2,851\text{cm}^{-1}$  are associated  
320 with the presence of  $\text{CH}_3$  group with asymmetric and symmetrical stretching  
321 vibrations at carbon-bound hydrogen atoms. The  $1740\text{ cm}^{-1}$  peaks with intense

322 absorption in the oil of the fish residue and  $1,743\text{ cm}^{-1}$  and  $1,742\text{ cm}^{-1}$  in the biofuels  
323 in lower intensity intense absorption associated with the stretching of the carbonyl  
324 groups C = O, and according to [23], indicates the presence of esters in oil and  
325 biodiesel. According to the authors, this shows the conversion of triglycerides from  
326 fish oil to fatty acid methyl esters. The peak  $1,652\text{ cm}^{-1}$  corresponds to the C = C  
327 elongation vibration and the spectra from  $1,460\text{ cm}^{-1}$  to  $1,370\text{ cm}^{-1}$  correspond to  
328 the vibration of C-H deformation. The  $1,179\text{ cm}^{-1}$  spectrum corresponds to the C-O  
329 stretching vibration. The absorption bands obtained in this study are similar to those  
330 reported in the study [40]. These bands can be observed in the oil of the fish residue,  
331 and to a lesser extent in the biofuels obtained (from  $3,006\text{ cm}^{-1}$  –  $1,742\text{ cm}^{-1}$ ) or by  
332 displacing them in  $1,179\text{ cm}^{-1}$  in the oil and  $1,158\text{ cm}^{-1}$  and  $1,165\text{ cm}^{-1}$  in their  
333 respective biofuels.

334

### 335 *3.4 Determination of metals in biodiesel*

336 The metals (Na, K, Ca and Mg) quantified in the biodiesel obtained by the  
337 conventional method and by the ultrasonic method are shown in Table 2. The sodium  
338 (Na) and potassium (K) metal ions when detected are largely derived from the  
339 catalyst used for the reaction as well as the raw material used to produce biodiesel.  
340 Calcium (Ca) and magnesium (Mg) ions may be obtained from the water used to  
341 wash the biofuel after it has been obtained.

342 Metals are considered contaminants in biodiesel, which can cause corrosion in  
343 storage, formation of soap, causing clogging in filters and motors. According to the  
344 ANP, there are maximum limits for the concentration of these elements: the sum of  
345 Na and K ( $5\text{ mg Kg}^{-1}$ ) and the sum of Ca and Mg ( $5\text{ mg Kg}^{-1}$ ). The analysis for these

346 biofuels determined high concentrations of Na, K and Mg cations. In the study by  
347 Teles, (2008) [41], the author evaluated the levels of these elements in five species  
348 of fish of the Caiapó river (GO). In the total population of these fish the levels of these  
349 elements are presented in Table 3, confirming their presence at high levels in  
350 freshwater fish. Previously, Ilesanmi et al.,(1996) [42] observed high concentrations  
351 of sodium and potassium in organ samples of Clarius gariepinus (Cuvier and  
352 Vallenciennes), Cyprinus carpio (L.) and Oreochromis niloticus. Another factor to  
353 consider is the salting, where sodium chloride (NaCl) is added to the ice that will  
354 preserve the fish after its capture until its processing. In addition, the higher  
355 concentrations in the biodiesel obtained in the ultrasonic method indicate that  
356 washing for removal of the catalyst residue and other reagents was insufficient:

357

#### 358 **4. Conclusion**

359 In this study, the transesterification of oil from the fish residue, guaranteed the  
360 production of a biofuel with acid value and peroxide index below the limits  
361 determined by the legislation. The yields in biodiesel obtained in the conventional  
362 method were higher than in the ultrasonic method and, according to ANP (96.5%).

363 The highest yield was achieved with 60 minutes of reaction, 0.5% sodium hydroxide  
364 and 1: 6 molar fraction of oil and alcohol.

365 • Time was an important parameter in both methods, ensuring interaction and  
366 temperature increase in order to promote the homogeneity of the mixing phases.

367 • Infrared spectroscopy analysis showed the effective conversion of the oil to biofuel.

368 • The determination of metals exposes the need to verify their presence in the raw  
369 material, and apply methods to reduce these in the biofuel obtained. The oil of the  
370 residue did not present high acidity indexes, allowing direct transesterification without  
371 the need for pre-esterification step, reducing process costs and reagent volumes.

372 • As a suggestion of future work, in order to improve yields in biodiesel in the  
373 ultrasonic method, samples with the tip in the methanol phase should be sonicated to  
374 transesterify, in addition to the reduction of the time and temperature control of the  
375 reaction.

376 • The biodiesel obtained must be physicochemically characterized, in order to  
377 evaluate its use in engines, its oxidative stability for storage.

378 The oil of fish residue in this study, despite its heterogeneity, was presented as an  
379 alternative for biodiesel production. Among other process residues, the waste  
380 generated in the fish filleting process is potentially harmful to the environment when  
381 discarded indiscriminately. Its use to obtain value products, consolidates the  
382 sustainable concept, as it creates economic opportunities for the region, encouraging  
383 social development as well as improvements in environmental quality and human  
384 health.

385

## 386 **Acknowledgments**

387 Thanks to the CAPES, CNPq and FAPERGS for the scholarships and the  
388 financial support.

389

390    **References**

- 391    [1]    Carvalho JF De. Combustíveis fósseis e insustentabilidade. Cienc Cult  
392    2008;60:30–3.
- 393    [2]    Sáez-Bastante J, Pinzi S, Jiménez-Romero FJ, Luque De Castro MD, Priego-  
394    Capote F, Dorado MP. Synthesis of biodiesel from castor oil: Silent versus sonicated  
395    methylation and energy studies. Energy Convers Manag 2015.  
396    doi:10.1016/j.enconman.2015.03.019.
- 397    [3]    Bhangu SK, Gupta S, Ashokkumar M. Ultrasonic enhancement of lipase-  
398    catalysed transesterification for biodiesel synthesis. Ultrason Sonochem  
399    2017;34:305–9. doi:10.1016/j.ulstsono.2016.06.005.
- 400    [4]    Uyumaz A. Combustion, performance and emission characteristics of a DI  
401    diesel engine fueled with mustard oil biodiesel fuel blends at different engine loads.  
402    Fuel 2018;212:256–67. doi:10.1016/j.fuel.2017.09.005.
- 403    [5]    De Oliveira FC, Coelho ST. History, evolution, and environmental impact of  
404    biodiesel in Brazil: A review. Renew Sustain Energy Rev 2017;75:168–79.  
405    doi:10.1016/j.rser.2016.10.060.
- 406    [6]    ANP. Anuário Estatístico do Petróleo, Gás Natural e Biocombustíveis 2016.  
407    2016.  
408    doi:[http://www.anp.gov.br/wwwanp/images/publicacoes/Anuario\\_Estatistico\\_ANP\\_2016.pdf](http://www.anp.gov.br/wwwanp/images/publicacoes/Anuario_Estatistico_ANP_2016.pdf).
- 410    [7]    García-Moreno PJ, Khanum M, Guadix A, Guadix EM. Optimization of  
411    biodiesel production from waste fish oil. Renew Energy 2014;68:618–24.  
412    doi:10.1016/j.renene.2014.03.014.

- 413 [8] De Almeida VF, García-Moreno PJ, Guadix A, Guadix EM. Biodiesel  
414 production from mixtures of waste fish oil, palm oil and waste frying oil: Optimization  
415 of fuel properties. Fuel Process Technol 2015;133:152–60.  
416 doi:10.1016/j.fuproc.2015.01.041.
- 417 [9] Aboelazayem O, Gadalla M, Saha B. Biodiesel production from waste cooking  
418 oil via supercritical methanol: Optimisation and reactor simulation. Renew Energy  
419 2017. doi:10.1016/j.renene.2017.06.076.
- 420 [10] Serra TM, De Mendona DR, Da Silva JP V, Meneghetti MR, Plentz Meneghetti  
421 SM. Comparison of soybean oil and castor oil methanolysis in the presence of tin (IV)  
422 complexes. Fuel 2011;90:2203–6. doi:10.1016/j.fuel.2011.02.027.
- 423 [11] Kaur M, Malhotra R, Ali A. Tungsten supported Ti/SiO<sub>2</sub> nanoflowers as  
424 reusable heterogeneous catalyst for biodiesel production. Renew Energy  
425 2018;116:109–19. doi:10.1016/j.renene.2017.09.065.
- 426 [12] Hajjari M, Tabatabaei M, Aghbashlo M, Ghanavati H. A review on the  
427 prospects of sustainable biodiesel production: A global scenario with an emphasis on  
428 waste-oil biodiesel utilization. Renew Sustain Energy Rev 2017;72:445–64.  
429 doi:10.1016/j.rser.2017.01.034.
- 430 [13] Da Conceião LR V, Da Costa CEF, Da Rocha Filho GN, Zamian JR. Obtaining  
431 and characterization of biodiesel from jupati (*Raphia taedigera* Mart.) oil. Fuel  
432 2011;90:2945–9. doi:10.1016/j.fuel.2011.04.019.
- 433 [14] Stephen JL, Periyasamy B. Innovative developments in biofuels production  
434 from organic waste materials: A review. Fuel 2018;214:623–33.  
435 doi:10.1016/j.fuel.2017.11.042.

- 436 [15] Lopes da Silva T, Santos AR, Gomes R, Reis A. Valorizing fish canning  
437 industry by-products to produce ω-3 compounds and biodiesel. Environ Technol  
438 Innov 2018;9:74–81. doi:10.1016/j.eti.2017.11.002.
- 439 [16] INSTITUTO BRASILEIRO DE GEOGRAFIA E ESTATÍSTICA - IBGE. Rio de  
440 Janeiro: 2015.
- 441 [17] Feltes MMC, Correia JFG, Beirão LH, Block JM, Ninow JL, Spiller VR.  
442 Alternativas para a agregação de valor aos resíduos da industrialização de peixe  
443 Alternatives for adding value for the fish processing wastes. Rev Bras Eng Agrícola E  
444 Ambient 2010;14:669–77. doi:10.1590/S1415-43662010000600014.
- 445 [18] Santos CE dos, Silva J da, Zinani F, Wander P, Gomes LP. Oil from the acid  
446 silage of Nile tilapia waste: Physicochemical characteristics for its application as  
447 biofuel. Renew Energy 2015;80:331–7. doi:10.1016/j.renene.2015.02.028.
- 448 [19] Mota, Francisco de Assis da Silva;Filho, José Tarcisio Costa; Lima, Auceliane  
449 André da Silva; Santos, Francisco Francielle Pinheiro dos; Malveira J de Q.  
450 Desenvolvimento de uma unidade piloto destinada a extração do óleo de vísceras de  
451 tilápia para posterior utilização na cadeia produtiva de biodiesel. 3 2014;4:1252–69.
- 452 [20] Lutz A. Óleos E Gorduras. Métodos Físicos-Químicos Para Análise Aliment  
453 2008:589–625. doi:10.1017/CBO9781107415324.004.
- 454 [21] Iastiaque Martins G, Secco D, Tokura LK, Bariccatti RA, Dolci BD, Santos RF.  
455 Potential of tilapia oil and waste in biodiesel production. Renew Sustain Energy Rev  
456 2015;42:234–9. doi:10.1016/j.rser.2014.10.020.
- 457 [22] Sabino, Lidiana Rossi Fortes; Valle, Camila Peixoto do; Bizerra, Deiby Anne  
458 Uchoa Barroso ; Malveira, Jackson de Queiroz; Rios MA de SR. Produção de

459 biodiesel a partir de óleo de peixe: AVALIAÇÃO DA MATÉRIA-PRIMA E  
460 ESTABILIDADE OXIDATIVA. XIV ENEEAMB 8º Forum Lat. Am. Eng. e  
461 sustentabilidade, Brasilia: 2016, p. 45–51.

462 [23] Kudre TG, Bhaskar N, Sakhare PZ. Optimization and characterization of  
463 biodiesel production from rohu (*Labeo rohita*) processing waste. Renew Energy  
464 2017;113:1408–18. doi:10.1016/j.renene.2017.06.101.

465 [24] Maghami M, Sadrameli SM, Ghobadian B. Production of biodiesel from fi  
466 shmeal plant waste oil using ultrasonic and conventional methods. Appl Therm Eng  
467 2014;1–5. doi:10.1016/j.applthermaleng.2014.09.062.

468 [25] Ouanji F, Kara K, Lotfi EM, Mahi M El, Kacimi M, Ziyad M. Biodiesel  
469 production from waste fish oil with high free fatty acid content from Moroccan fish-  
470 processing industries. Egypt J Pet 2017. doi:10.1016/j.ejpe.2017.07.010.

471 [26] Martins GI, Secco D, Rosa HA, Baricatti RA, Dolci BD, Melegari De Souza  
472 SN, et al. Physical and chemical properties of fish oil biodiesel produced in Brazil.  
473 Renew Sustain Energy Rev 2015;42:154–7. doi:10.1016/j.rser.2014.10.024.

474 [27] Fu J, Hue BTB, Turn SQ. Oxidation stability of biodiesel derived from waste  
475 catfish oil. Fuel 2017;202:455–63. doi:10.1016/j.fuel.2017.04.067.

476 [28] Oliveira, D.S., Fonseca, X.D.S., Farias, P.N., Bezerra, V.S., Pinto, C.H.C.,  
477 Souza, L.D., Santos, A.G.D., Matias LGO. Obtenção de Biodiesel através da  
478 Transesterificação do Óleo de Moringa Oleífera Lam. Holos 2012;1:49–59.

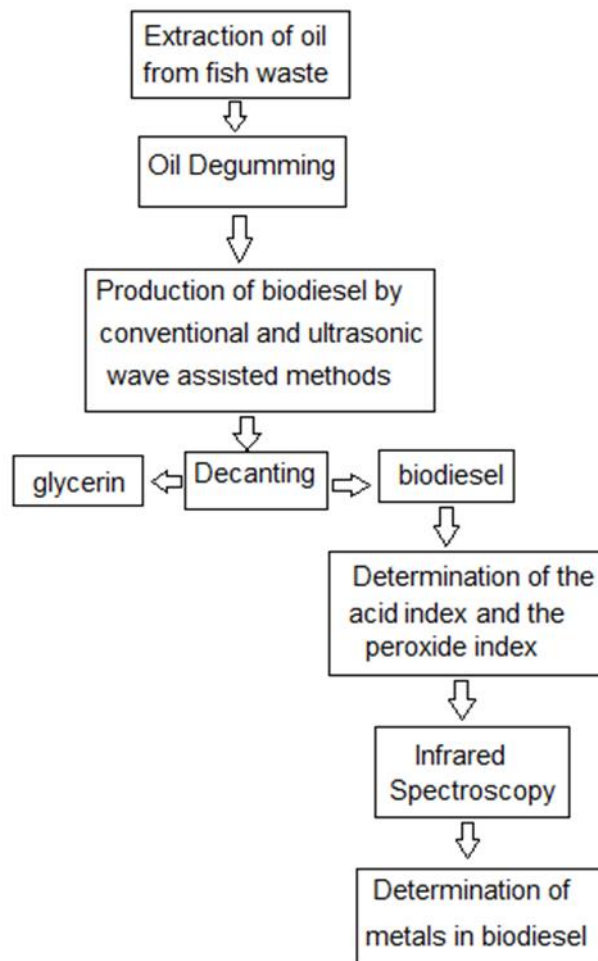
479 [29] Černiauskienė Ž, Raila AJ, Zvicevičius E, Kadžiulienė Ž, Tilvikienė V. Analysis  
480 of *Artemisia dubia* Wall. growth, preparation for biofuel and thermal conversion  
481 properties. Renew Energy 2018;118:468–76. doi:10.1016/j.renene.2017.11.024.

- 482 [30] Menegazzo ML, Franco Lucas B, Boarin Alcade L, Petenucci ME, Graciano  
483 Fonseca G. Production of biodiesel via methyl and ethyl routes from Nile tilapia and  
484 hybrid Sorubim crude oils. *J Environ Chem Eng* 2015;3:150–4.  
485 doi:10.1016/j.jece.2014.12.011.
- 486 [31] Gude VG, Grant GE. Biodiesel from waste cooking oils via direct sonication.  
487 *Appl Energy* 2013;109:135–44. doi:10.1016/j.apenergy.2013.04.002.
- 488 [32] Meibel T. Lisboa, Caroline D. Clasen, Daiane C. de Sousa Vellar EQO,  
489 Tatiana D. Saint’Pierre, Anderson S. Ribeiro MAV. An Easy and Fast Procedure for  
490 the Determination of Ca, Cu, Fe, Mn, Mg, Na, K and Si in Biodiesel by ICP OES  
491 Using Emulsification as Sample Preparation Strategy. *J Braz Chem Soc*  
492 2014;25:143–51.
- 493 [33] ANP. Resolução ANP No7, de 19.3.2008 - DOU 20.3.2008 2008:9.
- 494 [34] Hingu SM, Gogate PR, Rathod VK. Synthesis of biodiesel from waste cooking  
495 oil using sonochemical reactors. *Ultrason Sonochem* 2010;17:827–32.  
496 doi:10.1016/j.ulsonch.2010.02.010.
- 497 [35] Kalva A, Sivasankar T, Moholkar VS. Physical mechanism of ultrasound-  
498 assisted synthesis of biodiesel. *Ind Eng Chem Res* 2009;48:534–44.  
499 doi:10.1021/ie800269g.
- 500 [36] Rockembach CT, Dias D, Vieira BM, Ritter M, Santos M a. Z, de Oliveira DM,  
501 et al. Synthesis of Biodiesel from Grape Seed Oil Using Ultrasound Irradiation. *Rev  
502 Virtual Química* 2014;6. doi:10.5935/1984-6835.20140054.

- 503 [37] Santos FFP, Matos LJB, Rodrigues S, Fernandes FAN. Optimization of the  
504 production of methyl esters from soybean waste oil applying ultrasound technology.  
505 Energy and Fuels 2009;23:4116–20. doi:10.1021/ef900290r.
- 506 [38] Onukwuli DO, Emembolu LN, Ude CN, Aliozo SO, Menkiti MC. Optimization of  
507 biodiesel production from refined cotton seed oil and its characterization. Egypt J Pet  
508 2017;26:103–10. doi:10.1016/j.ejpe.2016.02.001.
- 509 [39] Mothé, Cheila;Correia, Denize Z.; Castro, Bruno C.S.; Caitano, Moisés;  
510 Aranda DAG. BIODIESEL OBTIDO A PARTIR DE REJEITO DE GORDURA  
511 ANIMAL. II Congr. Bras. Plantas Ol. Óleos, Gorduras e Biodiesel, Varginha, MG:  
512 2005, p. 743–7.
- 513 [40] Fadhil AB, Al-Tikrity ETB, Albadree MA. Transesterification of a novel  
514 feedstock, *Cyprinus carpio* fish oil: Influence of co-solvent and characterization of  
515 biodiesel. Fuel 2015;162:215–23. doi:10.1016/j.fuel.2015.09.001.
- 516 [41] Teles LT. ELEMENTOS TRAÇO EM PEIXES DE INTERESSE COMERCIAL  
517 DO RIO CAIAPÓ ( GOIÁS - BRASIL ) EM ÁREA SOB IMPACTO AMBIENTAL.  
518 UNIVERSIDADE CATÓLICA DE GOIÁS, 2008.
- 519 [42] Ilesanmi E, Jones N, Emmanuel M, Tenabe VO. Determination of some  
520 metals in *Clarias gariepinus* ( Cuvier and Vallenciennes ), *Cyprinus carpio* ( L .) and  
521 *Oreochromis niloticus* ( L .) fishes in a polyculture fresh water pond and their  
522 environments 1996;147.Abstract

## GRAPHICAL ABSTRACT

The flowchart below describes the biofuel production steps.



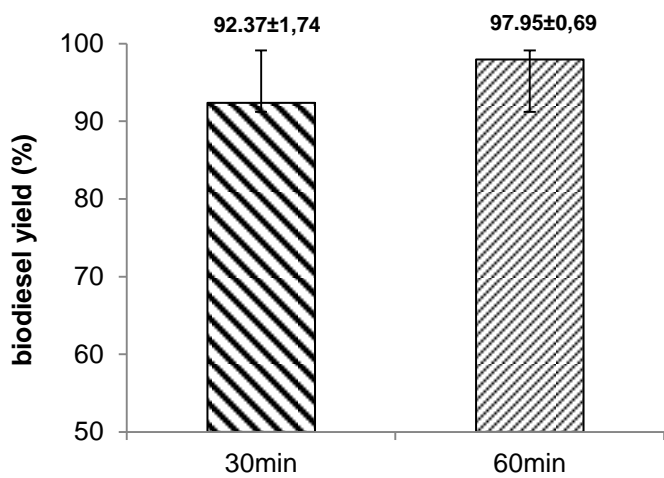


Fig. 1. Yield in biodiesel produced by the conventional transesterification method, 0.5% w/w in catalyst at times of 30 minutes and 60 minutes of reaction.



Fig 2. Separation of biodiesel and glycerol by decantation obtained in the conventional method.

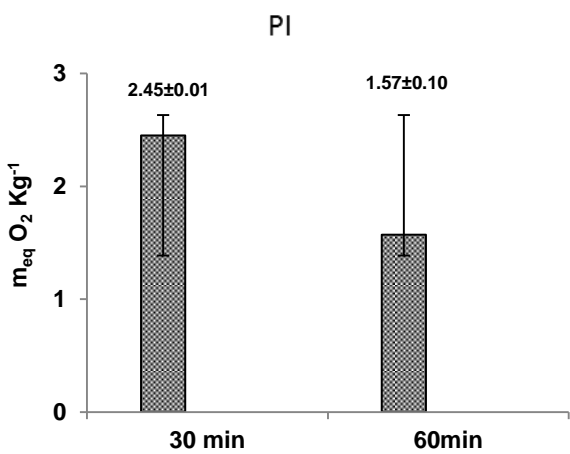


Fig. 3A. Peroxides index of biodiesel obtained in times of 30 and 60 minutes.

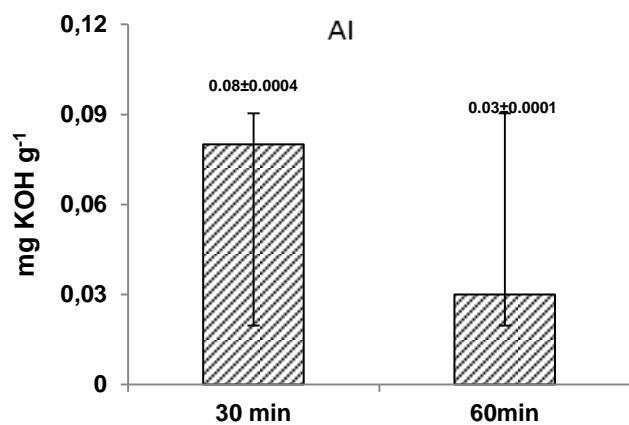


Fig. 3B. Acidity index of the biodiesel obtained in times of 30 and 60 minutes.

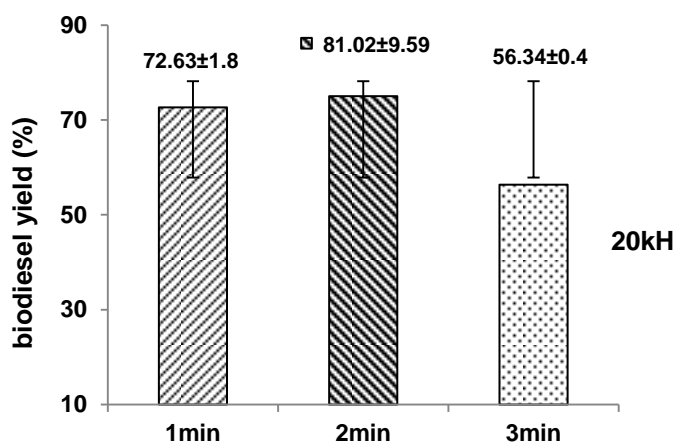


Fig. 4. Biodiesel yield obtained under ultrasonic waves at 20 kHz frequency

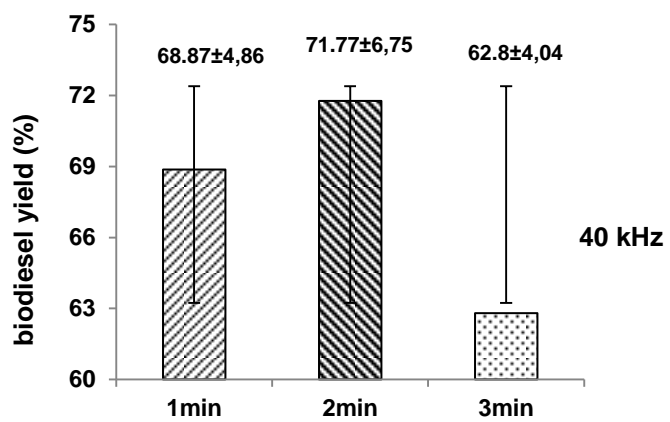


Fig. 5. Biodiesel yield obtained under ultrasonic waves at 40kHz frequency

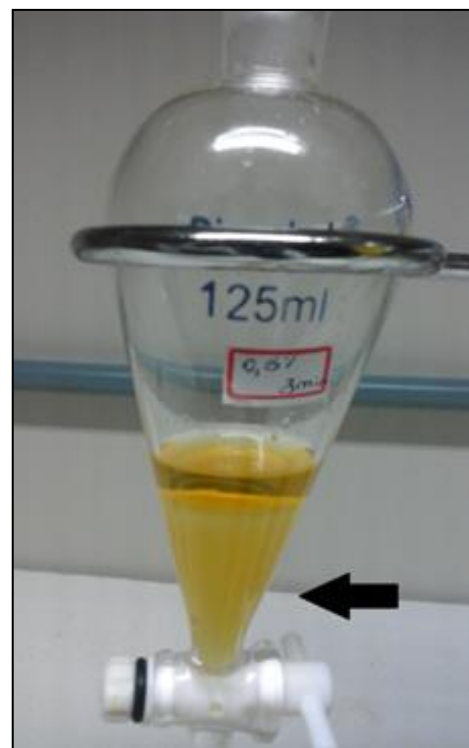


Fig. 6. Separation of biodiesel and glycerol by decantation obtained in the method of transesterification assisted by ultrasonic waves.

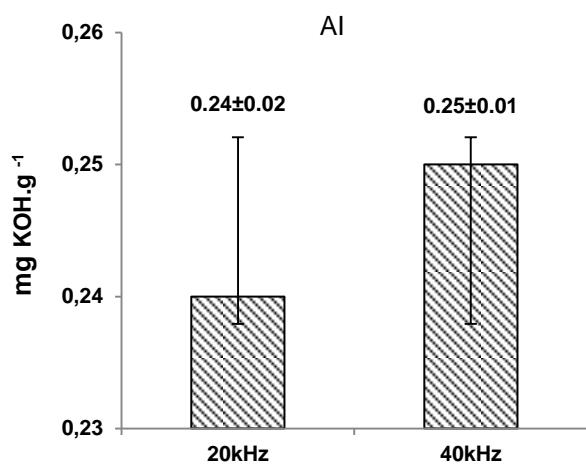


Fig.7A. Acidity index of biodiesel obtained in time 2 minutes.

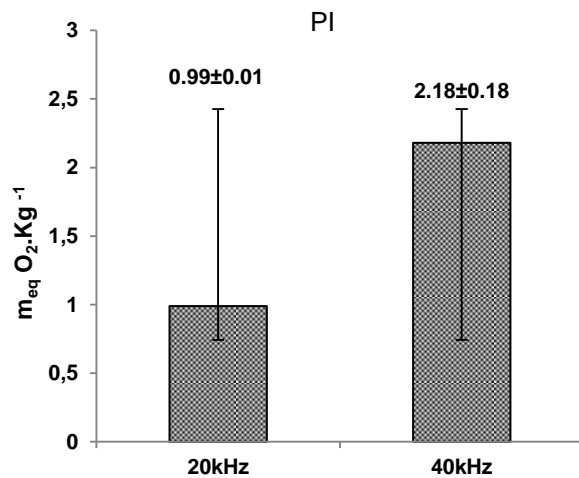


Fig.7B. Peroxide index of the biodiesel obtained in time 2 minutes.

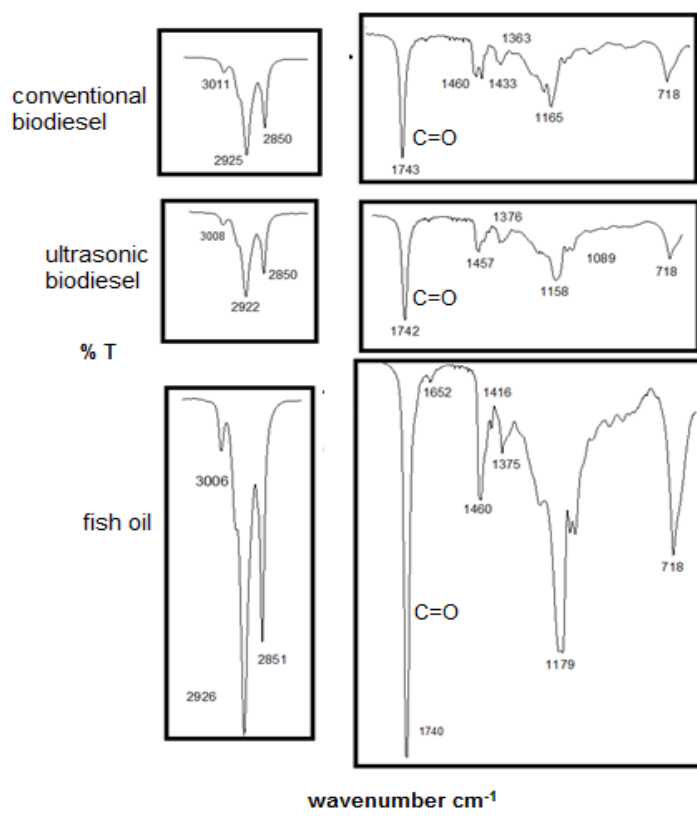


Fig. 8. Infrared spectrum obtained from fish residue oil and biofuels obtained by ultrasonic and conventional methods.

Table 1

Yields on biodiesel obtained from vegetable oils and fish processing residues by conventional and ultrasonic wave assisted transesterification methods.

Feedstock	MF		reaction			yield	method	Ref.: [36]
	T (°C)	(oil:methanol)	% w/w catalyst	(min)				
Grape seed oil	25	1:9	0.68% KOH	15, 20, 30	90-97%	US	[36]	
Soybean waste oil	25	1:9	3.5% H <sub>2</sub> SO <sub>4</sub>	60	99.9%	US	[37]	
Fishmeal plant	55	1:6	1% KOH	30	79.6%	US	[24]	
Waste cooking oil	-	1:9	0.5% NaOH	1, 2	90%	US	[31]	
Cotton seed oil	55	1:6	0.6% KOH	60	96%	heating	[38]	
Fishmeal plant	55	1:6	1% KOH	30	78%	heating	[24]	
Oil from fish	55	1:0.5	0.75% KOH	60	95.9%	heating	[23]	
Grape seed oil	25	1:9	0.68% KOH	15, 20, 30	66-70%	heating	[36]	

\* US: ultrasound; \*\*MF: molar fraction

Table 2

Determination of metal ions present in biodiesel obtained by the conventional and ultrasonic method in mg Kg<sup>-1</sup>

	Na*	K*	Ca*	Mg*
Biodiesel A	744	150.62	< LD	12
Biodiesel B	42.69	62.96	< LD	4
LD	0.20	0.10	0.14	0.0006

\* Na: sodium; K: potassium; Ca: calcium; Mg: magnesium; LD: detection limit;

Biodiesel A-obtained by the ultrasonic method; Biodiesel B-obtained by the conventional method.

Table 3

Averages and standard deviation of metallic elements present in Caiapó river fish species – GO

Elements	<i>mg Kg<sup>-1</sup></i>
Sodium (Na)	3118.88±1410,13
Potassium (K)	16926.95±3231,92
Calcium (Ca)	4155.02±3854,31
Magnesium (Mg)	1248.75±170,97

Source: TELES, (2008).

## **6. Conclusão**

O cenário atual da produção de biocombustíveis no Brasil mostra-se cada vez mais promissor. O aumento dos incentivos governamentais à sua utilização nas últimas décadas, a origem da matéria-prima para sua obtenção, as perspectivas ambientais e o desenvolvimento regional promovido por este produto, favorece novos estudos para melhorar o rendimento, a produção e a utilização em motores do ciclo diesel. Neste contexto, desenvolver mais pesquisas em torno do biodiesel com resíduos locais, proporciona benefícios ambientais e econômicos para a região.

O presente estudo, comprovou a possível obtenção de biocombustível através do óleo extraído dos resíduos da filetagem do pescado. O óleo apresentou características físico-químicas de acordo com as relatadas na literatura que permitem a realização do processo de transesterificação, com baixo índice de acidez. Além disso, o tamanho das cadeias carbônicas determinada no perfil de ácidos graxos confirma que o biocombustível a ser obtido com a transesterificação é o biodiesel. O perfil mostrou também o grau de saturação do óleo, característica que está relacionada com a estabilidade do mesmo e do biodiesel a ser produzido. A obtenção do biocombustível foi confirmada pelas duas técnicas de transesterificação, com melhores resultados pelo método convencional. O índice de acidez e a massa específica para este processo encontram-se dentro do estabelecido pela Agência Nacional de Petróleo porém, com níveis elevados de metais alcalinos presentes nas duas amostras de biodiesel.

## **REFERÊNCIAS**

**ALMEIDA, J. C. DE. Avaliação dos Índices de Qualidade da Água na Lagoa dos Patos, Pelotas – RS.** 2013. 58 p. Trabalhos de Conclusão de Curso (TCC). Graduação em Engenharia Ambiental e Sanitária. Universidade Federal de Pelotas, 2013.

ANP - Agência Nacional do Petróleo, Gás Natural e Biocombustíveis. Anuário estatístico brasileiro do petróleo, gás natural e biocombustíveis: 2016. Rio de Janeiro, 2008. Disponível em:

[http://www.anp.gov.br/wwwanp/images/publicacoes/Anuario\\_Estatistico\\_ANP\\_2016.pdf](http://www.anp.gov.br/wwwanp/images/publicacoes/Anuario_Estatistico_ANP_2016.pdf)

Acesso em: 13/02/2017

ASHOKKUMAR, M.; BHANGU, S. K.; GUPTA, S.; Green ultrasound-assisted extraction of carotenoids from pomegranate wastes using vegetable oils.

**Ultrasonics Sonochemistry** v. 34, 305–309, 2017.

**ASSIS, V. H. S. Otimização da síntese de biodiesel a partir do óleo das sementes de mamona e amendoim,** 2014. 51 p. (Dissertação) Mestrado em Ciências Agrárias – Universidade Estadual da Paraíba, Campina Grande, Paraíba, 2014.

**ALMEIDA, J. C. DE. Avaliação do Índice de Qualidade da Água na Lagoa dos Patos.** [s.l.] Universidade Federal de Pelotas, 2013.

**ASSIS, V. H. S. DE. Otimização da síntese de biodiesel a partir do óleo das sementes de mamona e amendoim.** [s.l.] Universidade estadual da paraíba, 2014.

**BALBINOT, E. ELETROCOAGULAÇÃO NO TRATAMENTO DE EFLUENTES DA FILETAGEM DE PESCADO.** [s.l.] Universidade Federal de Santa Caarina, 2015.

**BATISTA, P. S. et al. Produção de Biodiesel a partir de óleo de soja empregando catalisadores heterogêneos contendo potássio.** XX Congresso Brasileiro de Engenharia Química. **Anais...**Florianópolis: 2014

**BERY, CARLA CRISLAN DE SOUZA; NUNES, MARIA LUCIA; SILVA, GABRIEL FRANCISCO DA; SANTOS, JOÃO ANTONIO BELMINO DOS; BERY, C. DE S.** Estudo da viabilidade do óleo de vísceras de peixes marinhos ((*Seriola Dumerlii* (ARABAIANA), *Thunnus* spp (ATUM), *Scomberomorus cavala* (CAVALA) e *Carcharrhinus* spp (CAÇÃO)) COMERCIALIZADOS EM ARACAJU-SE PARA A PRODUÇÃO DE BIODIESEL. **Revista Geintec**, v. 2/n. 3, p. p.297-306, 2012.

**BHANGU, S. K.; GUPTA, S.; ASHOKKUMAR, M.** Ultrasonic enhancement of lipase-catalysed transesterification for biodiesel synthesis. **Ultrasonics Sonochemistry**, v. 34, p. 305–309, 2017.

**BUENO, G. W. et al.** Estado trófico e bioacumulação do fósforo total no cultivo de peixes em tanques tanques-rede na área aquícola do reservatório de Itaipu. **Acta Scientiarum - Biological Sciences**, v. 30, n. 3, p. 237–243, 2008.

**CARVALHO, G. C. D. E.** POTENCIAL DO ÓLEO EXTRAÍDO DE RESÍDUOS DA FILETAGEM DE TILÁPIA ( *Oreochromis niloticus* ) PARA PRODUÇÃO DE BIODIESEL. [s.l.] Universidade Federal de Lavras, 2016.

**CREXI, V. T.; SOUZA-SOARES, L. A.; PINTO, L. A. A.** Carp (*Cyprinus carpio*) oils obtained by fishmeal and ensilage processes: Characteristics and lipid profiles. **International Journal of Food Science and Technology**, v. 44, n. 8, p. 1642–1648,

2009.

**DE LIMA, A. P. TRANSESTERIFICAÇÃO DO ÓLEO DE GIRASSOL, ANÁLISE QUIMIOMÉTRICA DO PROCESSO E CARACTERIZAÇÃO DAS PROPRIEDADES FÍSICO-QUÍMICAS DO PRODUTO.** [s.l.] Universidade Federal de Uberlândia, 2013.

DECKER, A.T. ; RODRIGUES, E.A. ; ALMEIDA, J.C. ; QUADRO, M.S. ; LEANDRO, D. ; ANDREAZZA, R. ; BARCELOS, A. A. Avaliação dos possíveis impactos ambientais dos resíduos de pescado na localidade de Pelotas/RS. **Revista Brasileira de Engenharia e Sustentabilidade**, v. 2, n. 1, p. 1–10, 2016.

DECKER, A. T. **Gestão Socioambiental de Comunidade de Pescadores Artesanais Colônia de Pescadores Z-3, Pelotas/RS.** [s.l.] Universidade Federal de Pelotas, 2016.

DELAMARE, T. O.; SIMON, A. L. H.; SATO, S. E. Dinâmica de uso da terra e alterações na linha de costa lagunar: estudo em uma Colônia de Pescadores de Pelotas, RS, Brasil. **Revista de Gestão Costeira Integrada**, v. 15, n. 2, p. 237–248, 2015.

DELATORRE, A. B. et al. Produção de biodiesel: considerações sobre as diferentes matérias-primas e rotas tecnológicas de processos. **Perspectivas Online**, 2011.

DIB, F. H. **PRODUÇÃO DE BIODIESEL A PARTIR DE ÓLEO RESIDUAL RECICLADO E REALIZAÇÃO DE TESTES COMPARATIVOS COM OUTROS TIPOS DE BIODIESEL E PROPORÇÕES DE MISTURA EM UM MOTogerador.** [s.l.] Universidade Estadual paulista Júlio de Mesquita filho, 2010.

FADHIL, A. B.; AL-TIKRITY, E. T. B.; ALBADREE, M. A. Transesterification of a novel feedstock, Cyprinus carpio fish oil: Influence of co-solvent and characterization

of biodiesel. **Fuel**, v. 162, n. September, p. 215–223, 2015.

FELTES, M. M. C. et al. Alternativas para a agregação de valor aos resíduos da industrialização de peixe Alternatives for adding value for the fish processing wastes. **Revista Brasileira de Engenharia Agrícola e Ambiental**, v. 14, n. 6, p. 669–677, 2010.

**FIGUEIRA, M. C. COLÔNIA DE PESCADORES Z3, PELOTAS – RS: DA CRISE NA PESCA À EXPANSÃO DO TURISMO COM BASE NO PATRIMÔNIO CULTURAL.** [s.l.] Universidade Federal de Pelotas, 2009.

FILHO, J. B. DA S. Produção de biodiesel etílico de óleos e gorduras residuais (ogr) em reator químico de baixo custo. **Dissertação -UNIVERSIDADE TECNOLÓGICA FEDERAL DO PARANÁ**, p. 73, 2010.

IASTIAQUE MARTINS, G. et al. **Potential of tilapia oil and waste in biodiesel production** **Renewable and Sustainable Energy Reviews**, 2015a.

IASTIAQUE MARTINS, G. et al. Potential of tilapia oil and waste in biodiesel production. **Renewable and Sustainable Energy Reviews**, v. 42, p. 234–239, fev. 2015b.

MACHADO, S A; GIORDANI, D. S. **Obtenção de biodiesel a partir de óleo de amêndoas de macaúba utilizando ondas ultrassônicas.** XX Congresso Brasileiro de Engenharia Química. **Anais...** Florianópolis: 2014

MARTINS, W. S. **Inquérito exploratório referente à geração, armazenamento, transporte e descarte de resíduos em indústrias de pesca no Brasil.** [s.l.] Universidade de São Paulo, 2011.

MENDONÇA, F. M. DE; VALLE, R. DE A. B. DO; COUTINHO, R. A cadeia produtiva da pesca artesanal em arraial do cabo: Análise e propostas de melhoria. **Enegep**, v. XXX, 2010.

MENEGAZZO, M. L. et al. Production of biodiesel via methyl and ethyl routes from Nile tilapia and hybrid Sorubim crude oils. **Journal of Environmental Chemical Engineering**, v. 3, n. 1, p. 150–154, 2015.

MOTA, FRANCISCO DE ASSIS DA SILVA; FILHO, JOSÉ TARCISIO COSTA; LIMA, AUCELIANE ANDRÉ DA SILVA; SANTOS, FRANCISCO FRANCIELLE PINHEIRO DOS; MALVEIRA, J. DE Q. DESENVOLVIMENTO DE UMA UNIDADE PILOTO DESTINADA A EXTRAÇÃO DO ÓLEO DE VÍSCERAS DE TILÁPIA PARA POSTERIOR UTILIZAÇÃO NA CADEIA PRODUTIVA DE BIODIESEL. **3**, v. 4, p. 1252–1269, 2014.

OLIVEIRA, D.S., FONSECA, X.D.S., FARIA, P.N., BEZERRA, V.S., PINTO, C.H.C., SOUZA, L.D., SANTOS, A.G.D., MATIAS, L. G. O. Obtenção de Biodiesel através da Transesterificação do Óleo de Moringa Oleífera Lam. **Holos**, v. 1, p. 49–59, 2012.

PAIVA, E. J. M. et al. Non-edible babassu oil as a new source for energy production-a feasibility transesterification survey assisted by ultrasound. **Ultrasonics Sonochemistry**, v. 20, n. 3, p. 833–838, 2013.

RAMALHO, H. F.; SUAREZ, P. A. Z. A Química dos óleos e gorduras e seus processos de extração e refino. **Revista Virtual de Química**, v. 5, n. 1, p. 2–15, 2013.

RAMOS, L. P. et al. Biodiesel: Matérias-Primas, Tecnologias de Produção e Propriedades Combustíveis. **Revista Virtual de Química**, v. 9, n. 1, p. 317–369,

2017.

ROCKEMBACH, C. T. et al. Synthesis of Biodiesel from Grape Seed Oil Using Ultrasound Irradiation. **Revista Virtual de Química**, v. 6, n. 4, 2014.

ROSSET, I. G.; PORTO, A. L. M. Catálise Enzimática : Transesterificação do Óleo de Soja e Esterificação do Ácido Oleico via Lipases<sup>1</sup>. n. 2, p. 64–78, 2015.

SÁEZ-BASTANTE, J. et al. Biodiesel synthesis from saturated and unsaturated oils assisted by the combination of ultrasound, agitation and heating. **Fuel**, v. 131, n. May, p. 6–16, 2014.

SÁEZ-BASTANTE, J. et al. Synthesis of biodiesel from castor oil: Silent versus sonicated methylation and energy studies. **Energy Conversion and Management**, 2015.

SANES, F. S. M. et al. Compostagem e fermentação de resíduos de pescado para produção de fertilizantes orgânicos. **Seminário: Ciências Agrárias**, v. 36, n. 3, p. 1241–1251, 2015.

SANTOS, F. F. P. et al. Production of biodiesel by ultrasound assisted esterification of Oreochromis niloticus oil. **Fuel**, 2010a.

SANTOS, F. F. P. et al. Production of biodiesel by ultrasound assisted esterification of Oreochromis niloticus oil. **Fuel**, v. 89, n. 2, p. 275–279, 2010b.

SANTOS, W. M. DOS et al. Production of Meal As a Tool for the Valuation of the Fish Residues. **Ciência e Natura**, v. 39, n. 3, p. 767, 2017.

SERQUEIRA, D. S. et al. Influence of blending soybean, sunflower, colza, corn, cottonseed, and residual cooking oil methyl biodiesels on the oxidation stability. **Fuel**,

v. 118, p. 16–20, 2014.